

بِسْمِ اللَّهِ الرَّحْمَنِ الرَّحِيمِ



# بینایی کامپیوتری

درس ۸

## پردازش تصویر مورفولوژیکال

### Morphological Image Processing

کاظم فولادی

دانشکده مهندسی، پردیس فارابی

دانشگاه تهران

<http://courses.fouladi.ir/vision>

## پردازش تصویر مورفولوژیکال

مورفولوژی ریاضی

MORPHOLOGICAL IMAGE PROCESSING

مورفولوژی (ریخت‌شناسی)، نام شاخه‌ای از زیست‌شناسی است که با **شکل و ساختار** حیوانات و گیاهان سروکار دارد. همین مفهوم را در مورد **شکل و ساختار تصویر** استفاده می‌کنیم.

## مورفولوژی ریاضی (ریخت‌شناسی ریاضی):

\* ابزاری برای استخراج مؤلفه‌های تصویر

به‌منظور بازنمایی و توصیف نواحی شکل

مانند: مرزها، اسکلت‌ها و پوسته‌ی محدب

+

\* تکنیک‌های مورفولوژیکی برای پیش‌پردازش و پس‌پردازش

مانند: فیلتر کردن مورفولوژیکی، نازک‌سازی، هرس کردن

زبان مورفولوژی ریاضی: نظریه‌ی مجموعه‌ها

پردازش تصویر مورفولوژیکال

۱

مقدمات

## بازنمایی/توصیف مورفولوژیکی تصویرهای دودویی

### MORPHOLOGICAL REPRESENTATION/DESCRIPTION OF BINARY IMAGES

مجموعه‌ها بیانگر اشیای موجود در تصویر هستند.

توصیف مورفولوژیکی تصویر دودویی:  
مجموعه‌ی همه‌ی پیکسل‌های سفید (1) در یک تصویر

$$(A \text{ Binary Image}) \subseteq \mathbb{Z}^2$$

مختصات نقاط سفید در تصویر را در مجموعه قرار می‌دهیم.

$$I = \{(x, y) : f(x, y) = 1\} \subseteq \mathbb{Z}^2$$



## بازنمایی/توصیف مورفولوژیکی تصویرهای سطح خاکستری

### MORPHOLOGICAL REPRESENTATION/DESCRIPTION OF GRAYSCALE IMAGES

مجموعه‌ها بیانگر اشیای موجود در تصویر هستند.

توصیف مورفولوژیکی تصویر سطح خاکستری:  
مجموعه‌ی همه‌ی پیکسل‌های غیر صفر در یک تصویر به همراه شدت روشنایی هر پیکسل

$$(A \text{ Grayscale Image}) \subseteq \mathbb{Z}^3$$

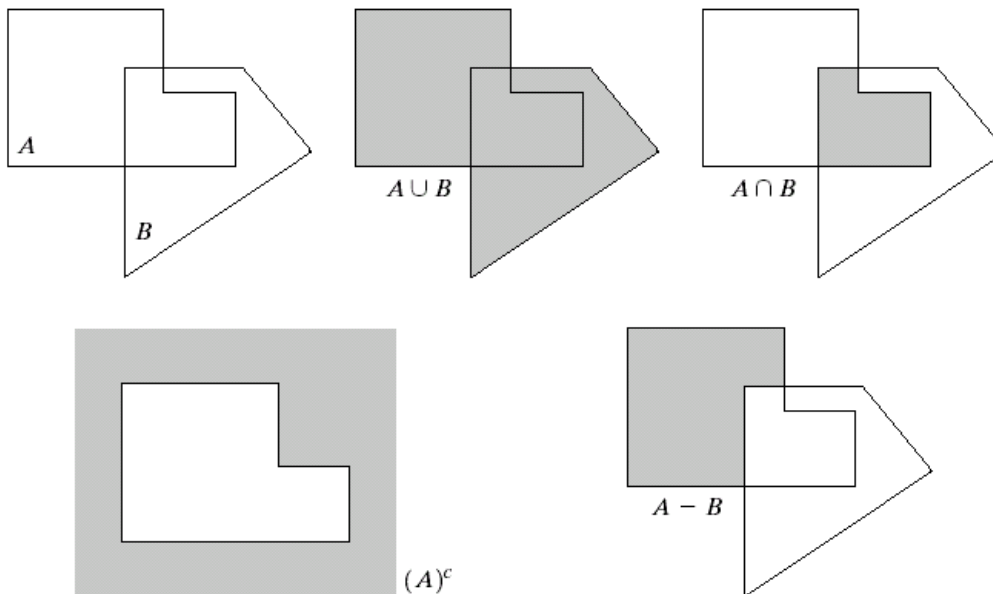
مختصات هر نقطه‌ی غیر سیاه در تصویر را به همراه سطح خاکستری (گسسته) آن  
در قالب یک سه‌تایی مرتب در مجموعه قرار می‌دهیم:

$$I = \{(x, y, g) : f(x, y) = g\} \subseteq \mathbb{Z}^3$$

# برخی مفاهیم پایه از نظریه‌ی مجموعه‌ها

عملگرهای مجموعه‌ای

## SOME BASIC CONCEPTS FROM SET THEORY

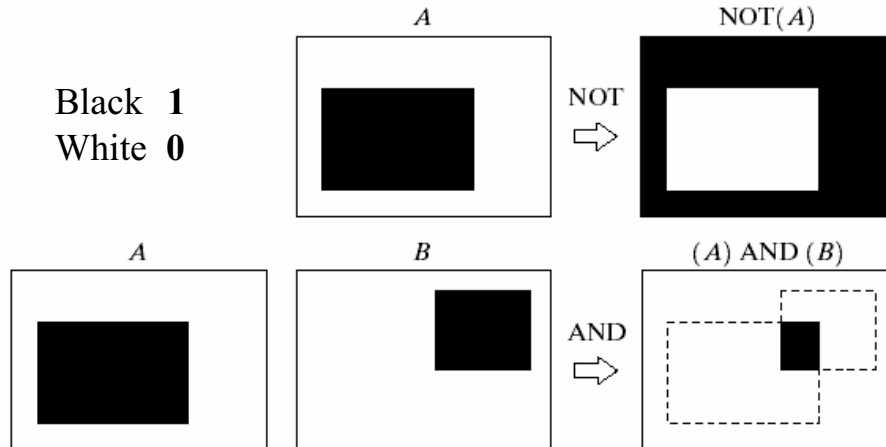


# عملیات منطقی شامل تصاویر دودویی

(۱ از ۲)

## LOGIC OPERATIONS INVOLVING BINARY IMAGES

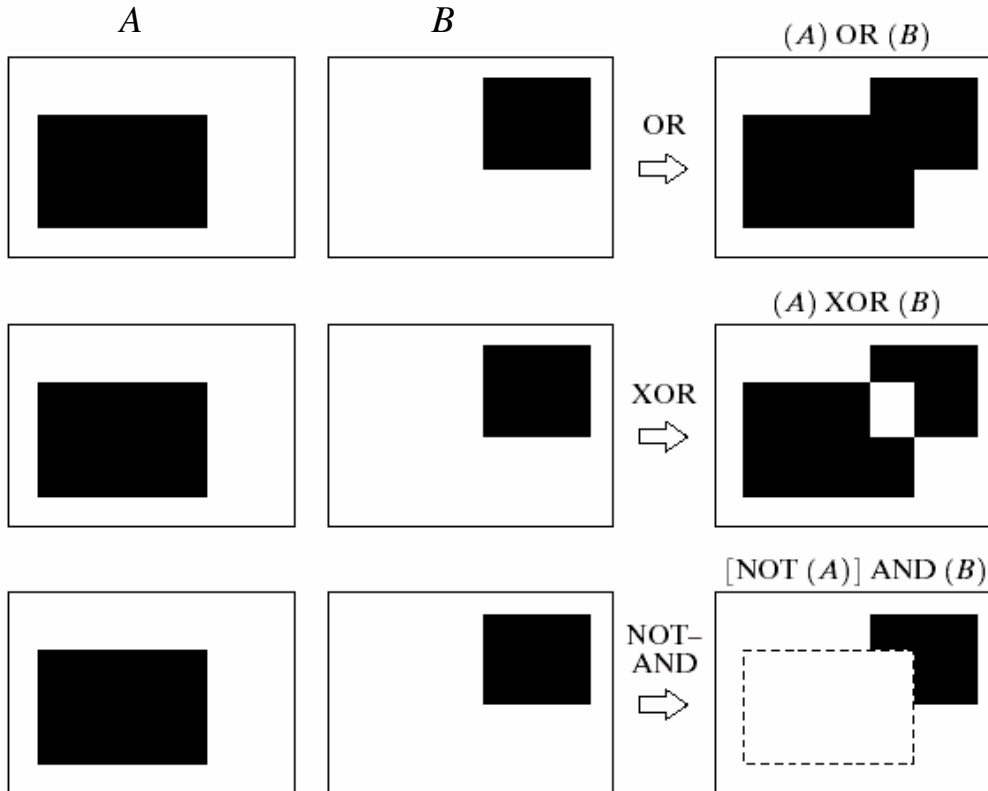
$p$	$q$	$p \text{ AND } q \text{ (also } p \cdot q \text{)}$	$p \text{ OR } q \text{ (also } p + q \text{)}$	$\text{NOT } (p) \text{ (also } \bar{p} \text{)}$
0	0	0	0	1
0	1	0	1	1
1	0	0	1	0
1	1	1	1	0

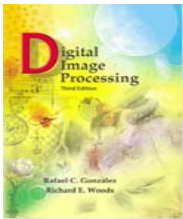


# عملیات منطقی شامل تصاویر دودویی

(۲ از ۲)

## LOGIC OPERATIONS INVOLVING BINARY IMAGES





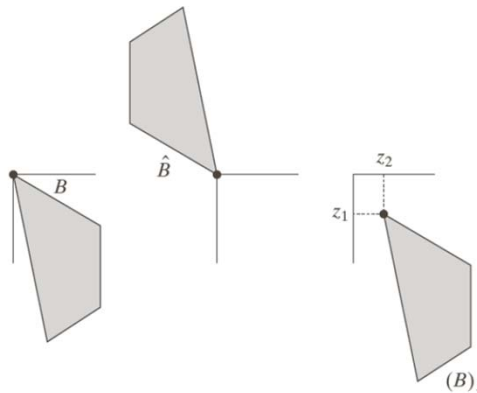
# Digital Image Processing, 3rd ed.

Gonzalez & Woods

www.ImageProcessingPlace.com

## Chapter 9

### Morphological Image Processing



a b c

**FIGURE 9.1**

(a) A set, (b) its reflection, and (c) its translation by  $z$ .

## بازتاب و جابجایی مجموعه‌ای

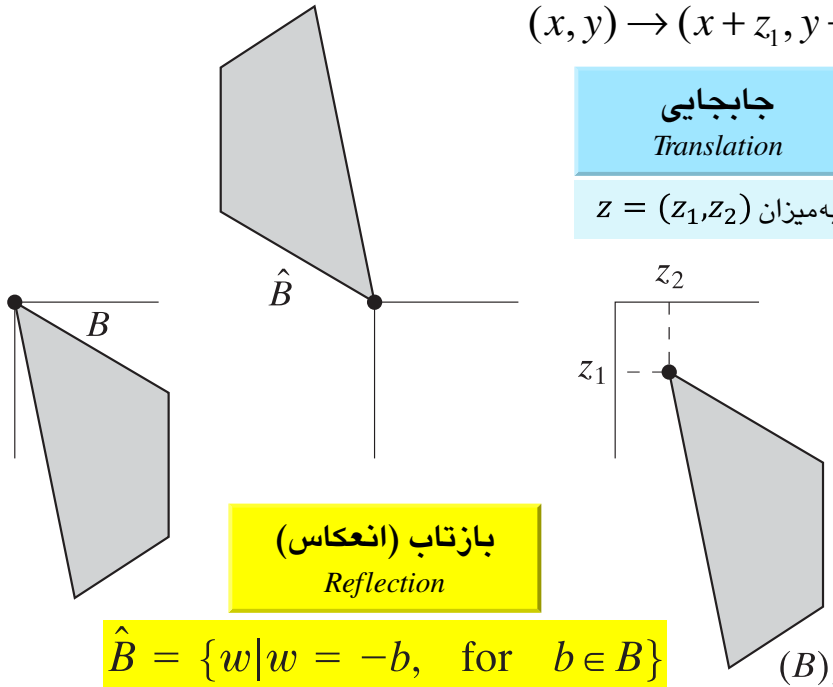
SET REFLECTION AND TRANSLATION

$$(B)_z = \{c \mid c = b + z, \text{ for } b \in B\}$$

$$(x, y) \rightarrow (x + z_1, y + z_2)$$

جابجایی

Translation

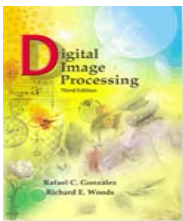
به میزان  $z = (z_1, z_2)$ 

بازتاب (انعکاس)

Reflection

$$\hat{B} = \{w \mid w = -b, \text{ for } b \in B\}$$

$$(x, y) \rightarrow (-x, -y)$$



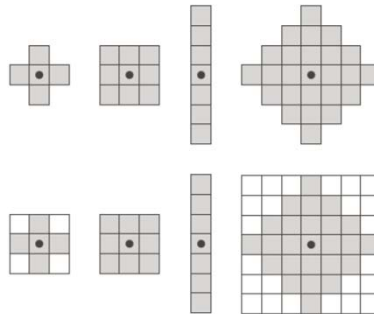
# *Digital Image Processing, 3rd ed.*

Gonzalez & Woods

[www.ImageProcessingPlace.com](http://www.ImageProcessingPlace.com)

## Chapter 9

### Morphological Image Processing



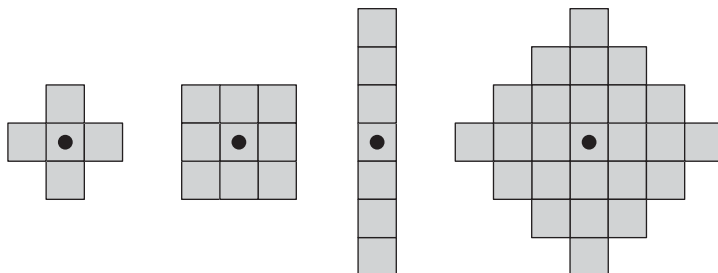
**FIGURE 9.2** First row: Examples of structuring elements. Second row: Structuring elements converted to rectangular arrays. The dots denote the centers of the SEs.

## المان‌های ساختاری

STRUCTURE ELEMENTS (SEs)

مجموعه / زیرتصویر کوچکی که برای کاوش تصویر تحت بررسی به منظور یافتن ویژگی‌های مورد نظر استفاده می‌شود.

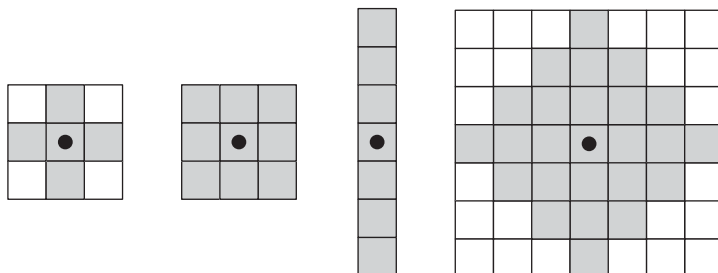
المان ساختاری (عنصر ساختاری)  
Structure Element (SE)



نمونه‌هایی از المان‌های ساختاری:

هر مربع هاشور خورده، عضوی از SE است.

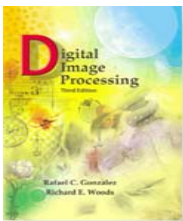
(اگر عضویت یک نقطه در مجموعه‌ی SE مهم نباشد،  
با  $\times$  (به معنی don't care) نشان داده می‌شود.)



بازنمایی المان‌های ساختاری فوق  
در قالب آرایه‌های مستطیلی

(نقطه‌ی سیاه توپر •: مرکز SE)  
\* اگر SE متقارن باشد، فرض: مرکز = مرکز تقارن





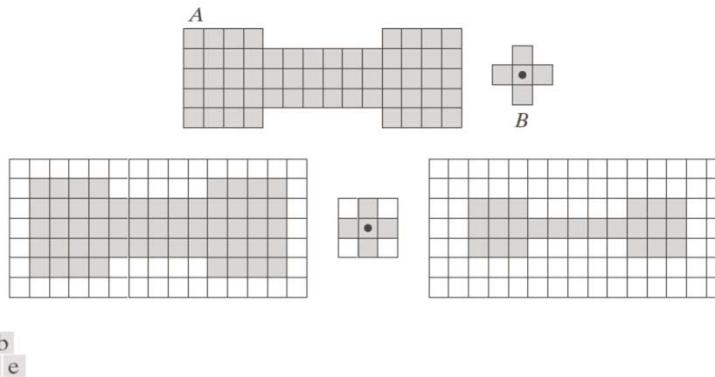
# Digital Image Processing, 3rd ed.

Gonzalez & Woods

www.ImageProcessingPlace.com

## Chapter 9

### Morphological Image Processing



**FIGURE 9.3** (a) A set (each shaded square is a member of the set). (b) A structuring element. (c) The set padded with background elements to form a rectangular array and provide a background border. (d) Structuring element as a rectangular array. (e) Set processed by the structuring element.

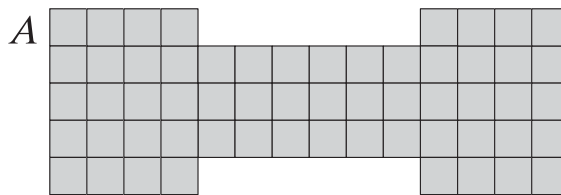
# المان‌های ساختاری

روش به‌کارگیری المان‌های ساختاری

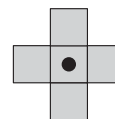
## STRUCTURE ELEMENTS (SES)

ب) در هر مکان مرکز  $B$   
اگر  $B$  به‌طور کامل در  $A$   
قرار گرفت، آن مکان  
به‌عنوان عضوی از  
مجموعه‌ی جدید خواهد  
بود (هاشور می‌خورد).

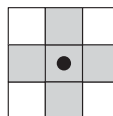
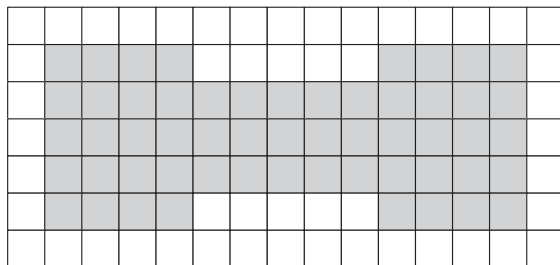
(۱) یک مجموعه  
(عناصر هاشوردار عضو مجموعه هستند)



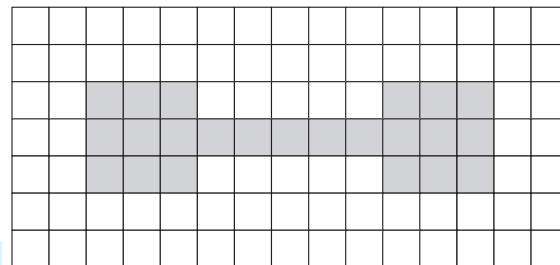
الف) با اعمال  $B$  روی  $A$ : به‌نحوی که  
مرکز  $B$  از همه‌ی عناصر  $A$  عبور کند  
⇐ یک مجموعه‌ی جدید ساخته می‌شود.



(۲) یک المان ساختاری



(۴)  
المان ساختاری  
به‌شکل یک  
آرایه‌ی مستطیلی



(۵) مجموعه‌ی پردازش‌شده با المان ساختاری  
نتیجه: وقتی مرکز  $B$  روی مرز  $A$  قرار دارد،  
همپوشانی کامل نیست، پس مرز  $A$  **فرسایش** می‌یابد.

(۳) مجموعه‌ی پد شده با المان‌های پس‌زمینه  
برای ایجاد آرایه‌ی مستطیلی و تشکیل مرز پس‌زمینه

# ۲

## فرسایش و گسترش

## فرسایش

کاهش ضخامت

EROSION

فرسایش  $A$  توسط  $B$   
*The Erosion of  $A$  by  $B$*

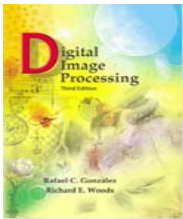
$$A \ominus B = \{z | (B)_z \subseteq A\}$$

تعریف معادل:

$$A \ominus B = \{z | (B)_z \cap A^c = \emptyset\}$$

$$A, B \subseteq \mathbb{Z}^2$$

مجموعه‌ی همه‌ی جابجایی‌ها  $z$  که  $B$  با هیچ پس‌زمینه‌ای از  $A$  همپوشانی نداشته باشد.



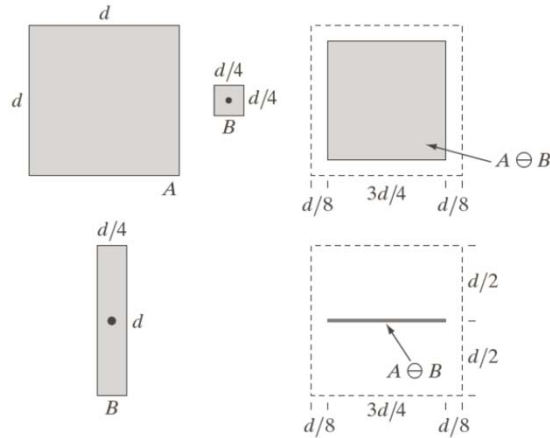
# Digital Image Processing, 3rd ed.

Gonzalez & Woods

www.ImageProcessingPlace.com

## Chapter 9

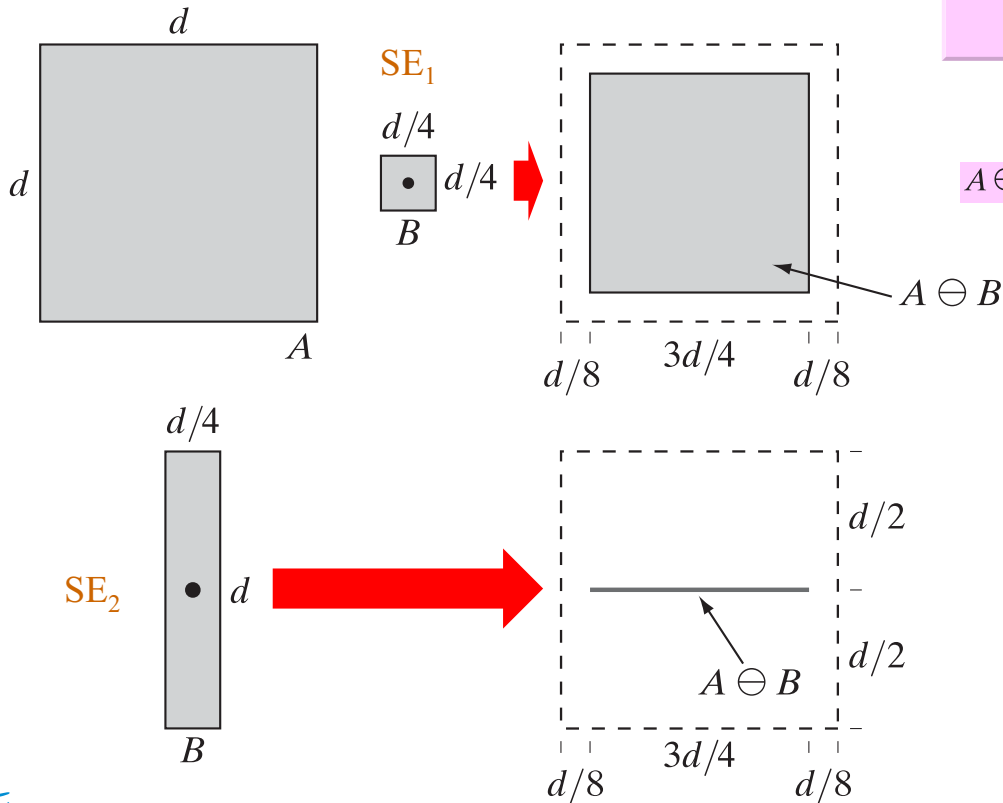
### Morphological Image Processing



**FIGURE 9.4** (a) Set  $A$ . (b) Square structuring element,  $B$ . (c) Erosion of  $A$  by  $B$ , shown shaded. (d) Elongated structuring element. (e) Erosion of  $A$  by  $B$  using this element. The dotted border in (c) and (e) is the boundary of set  $A$ , shown only for reference.

## فرسایش

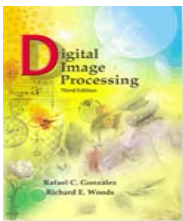
مثال

EROSIONفرسایش  $A$  توسط  $B$ *The Erosion of  $A$  by  $B$* 

$$A \ominus B = \{z | (B)_z \subseteq A\}$$

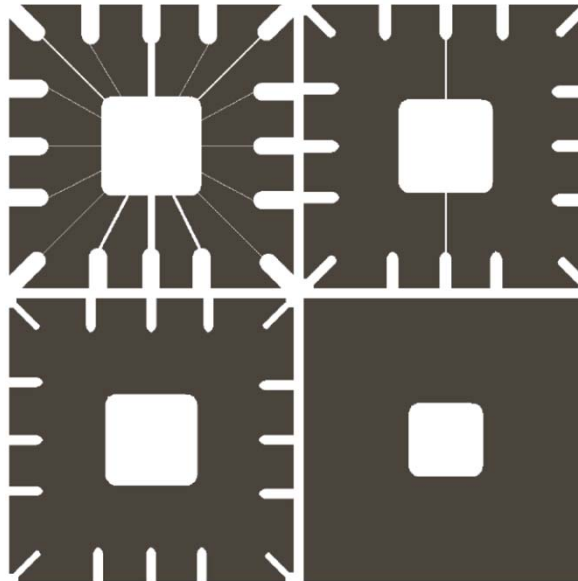
$$A \ominus B = \{z | (B)_z \cap A^c = \emptyset\}$$

 $A \ominus B$  $A \ominus B$



## Chapter 9

### Morphological Image Processing



a	b
c	d

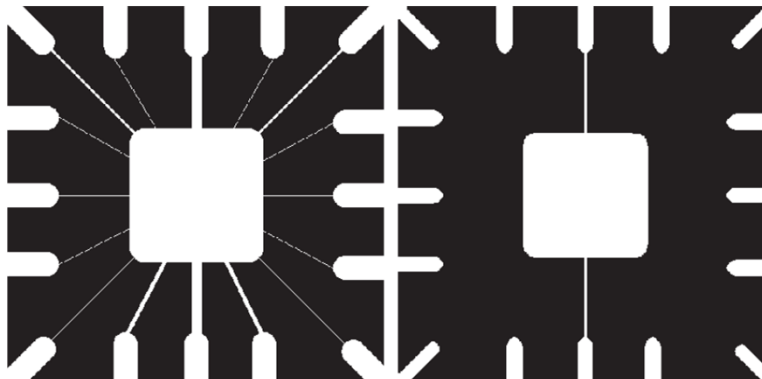
**FIGURE 9.5** Using erosion to remove image components. (a) A  $486 \times 486$  binary image of a wire-bond mask. (b)–(d) Image eroded using square structuring elements of sizes  $11 \times 11$ ,  $15 \times 15$ , and  $45 \times 45$ , respectively. The elements of the SEs were all 1s.

## فرسایش

مثال: کاربرد در حذف اجزای تصویر

### EROSION

(۱)  
یک تصویر دودویی  
۴۸۶ در ۴۸۶ پیکسل



(۲)  
تصویر فرسایش یافته  
با استفاده از المان  
ساختاری با اندازه‌ی  
۱۱ در ۱۱



(۳)  
تصویر فرسایش یافته  
با استفاده از المان  
ساختاری با اندازه‌ی  
۱۵ در ۱۵

(۴)  
تصویر فرسایش یافته  
با استفاده از المان  
ساختاری با اندازه‌ی  
۴۵ در ۴۵





## گسترش (اتساع)

افزایش ضخامت

DILATIONگسترش  $A$  توسط  $B$ *The Dilation of  $A$  by  $B$* 

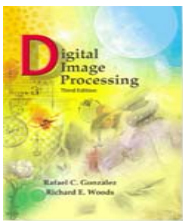
$$A \oplus B = \{z | (\hat{B})_z \cap A \neq \emptyset\}$$

تعریف معادل:

$$A \oplus B = \{z | [(\hat{B})_z \cap A] \subseteq A\}$$

$$A, B \subseteq \mathbb{Z}^2$$

بازتاب دادن  $B$  حول مرکز آن و انتقال این بازتاب با  $z$ :مجموعه‌ی همه‌ی جابجایی‌ها  $z$  که  $\hat{B}$  و  $A$  حداقل در یک عنصر اشتراک داشته باشند.



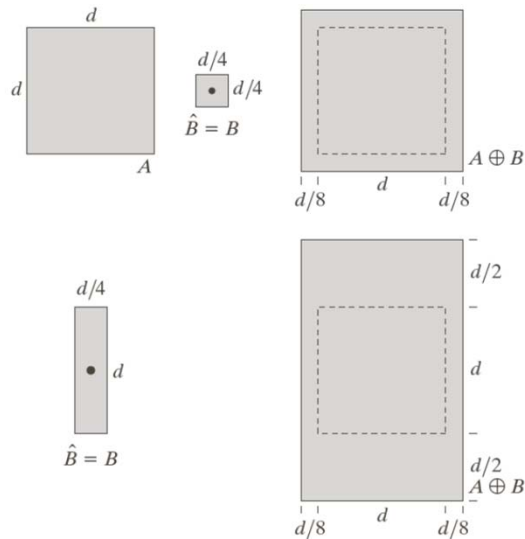
# Digital Image Processing, 3rd ed.

Gonzalez & Woods

www.ImageProcessingPlace.com

## Chapter 9

## Morphological Image Processing



a	b	c
d	e	

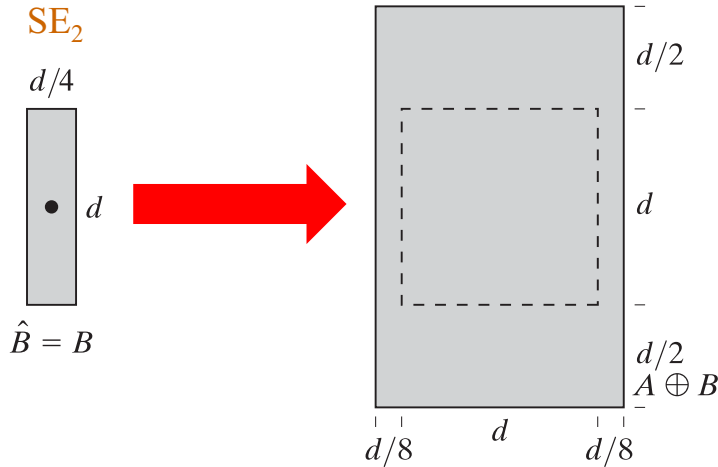
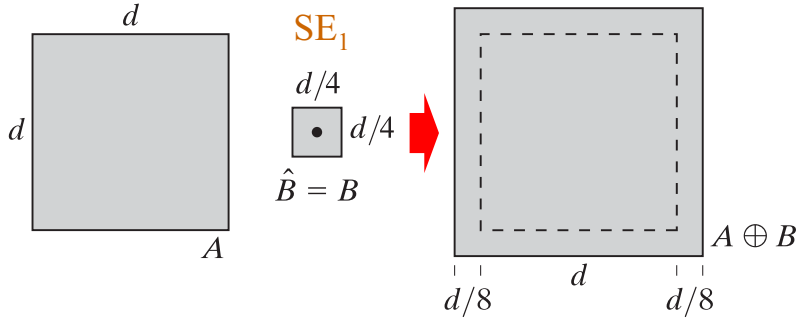
**FIGURE 9.6**

(a) Set  $A$ .  
 (b) Square structuring element (the dot denotes the origin).  
 (c) Dilation of  $A$  by  $B$ , shown shaded.  
 (d) Elongated structuring element. (e) Dilation of  $A$  using this element. The dotted border in (c) and (e) is the boundary of set  $A$ , shown only for reference

## گسترش

مثال

## DILATION

گسترش  $A$  توسط  $B$ *The Dilation of  $A$  by  $B$* 

$$A \oplus B = \{z | (\hat{B})_z \cap A \neq \emptyset\}$$

$$A \oplus B = \{z | [(\hat{B})_z \cap A] \subseteq A\}$$

## گسترش (اتساع)

خواص

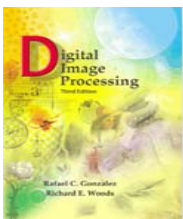
DILATION

شرکت پذیری

$$A \oplus (B \oplus C) = (A \oplus B) \oplus C$$

جابجایی پذیری

$$A \oplus B = B \oplus A$$



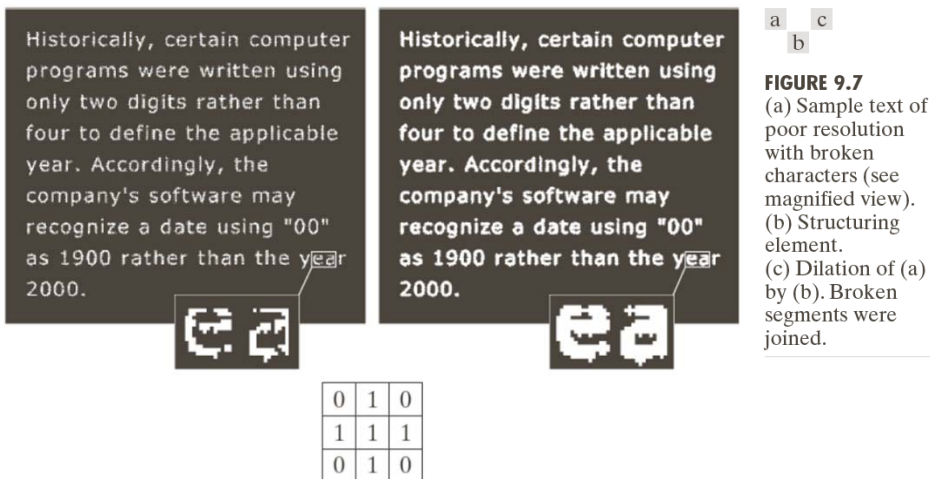
# Digital Image Processing, 3rd ed.

Gonzalez & Woods

www.ImageProcessingPlace.com

## Chapter 9

### Morphological Image Processing



## گسترش

مثال: کاربرد در پر کردن بریدگی‌ها

## DILATION

Historically, certain computer programs were written using only two digits rather than four to define the applicable year. Accordingly, the company's software may recognize a date using "00" as 1900 rather than the year 2000.



(۱)  
نمونه‌ای از متن با قابلیت تفکیک پایین و کاراکترهای شکسته شده

Historically, certain computer programs were written using only two digits rather than four to define the applicable year. Accordingly, the company's software may recognize a date using "00" as 1900 rather than the year 2000.



(۲)  
گسترش تصویر سمت راست با SE: قسمت‌های شکسته شده، متصل شدند.

SE

0	1	0
1	1	1
0	1	0

## دوگانی فرسایش و گسترش

### DUALITY OF DILATION AND EROSION

فرسایش و گسترش، نسبت به عمل‌های مجموعه‌ای متمم و بازتاب، دوگان یکدیگر هستند:

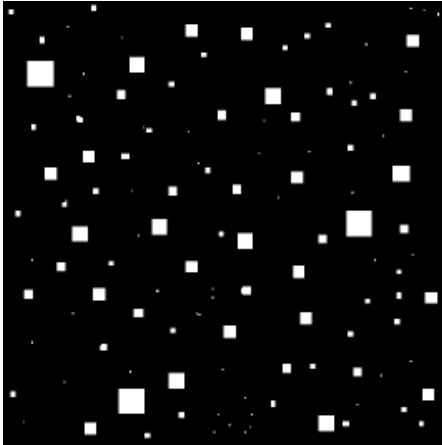
$$(A \ominus B)^c = A^c \oplus \hat{B}$$

$$(A \oplus B)^c = A^c \ominus \hat{B}$$

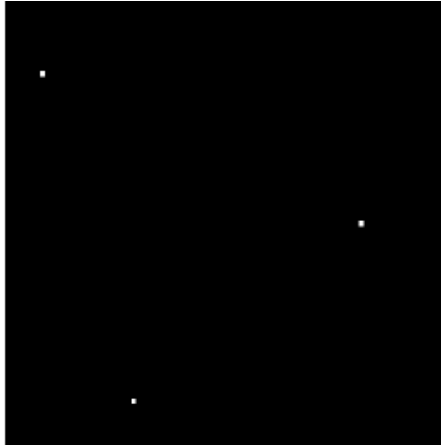
$$\begin{aligned} (A \ominus B)^c &= \{z | (B)_z \subseteq A\}^c \\ (A \ominus B)^c &= \{z | (B)_z \cap A^c = \emptyset\}^c \\ (A \ominus B)^c &= \{z | (B)_z \cap A^c \neq \emptyset\} \\ &= A^c \oplus \hat{B} \end{aligned}$$

## فرسایش و گسترش

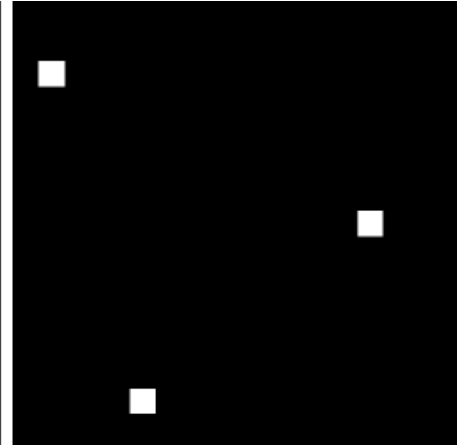
مثال

EROSION AND DILATION

(۱)  
تصویر مربع‌ها با اندازه‌های ضلع  
1, 3, 5, 7, 9 pixel(s)



(۲)  
فرسایش (۱) با یک المان ساختاری  
مربعی با ضلع ۱۳ پیکسل



(۳)  
گسترش (۲) با همان المان ساختاری



۳

باز کردن  
و  
بستن

## باز کردن (گشودن)

هموارسازی + شکستن فواصل باریک + حذف برآمدگی‌های باریک

### OPENING

باز کردن  $A$  توسط  $B$

*The Opening of  $A$  by  $B$*

باز کردن:

محتوای یک شیء را هموارتر می‌کند، فواصل باریک را می‌شکند و برآمدگی‌های باریک را حذف می‌کند.

باز کردن  $A$  با  $B =$  فرسایش  $A$  با  $B$  و سپس گسترش حاصل با  $B$  است.

$$A \circ B = (A \ominus B) \oplus B$$

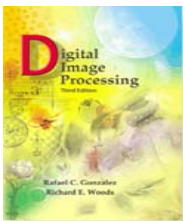
تعریف معادل (بر اساس تعبیر هندسی باز کردن):

$$A \circ B = \bigcup \{ (B)_z \mid (B)_z \subseteq A \}$$

$$A, B \subseteq \mathbb{Z}^2$$

تعبیر هندسی:

مرز  $A \circ B$  دورترین نقاطی است که المان ساختاری  $B$  (به صورت یک توپ هموار) در حال چرخش در داخل  $A$  به آن می‌رسد.



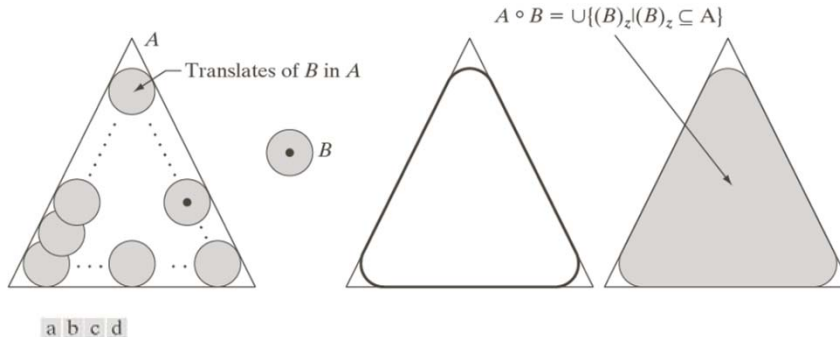
# Digital Image Processing, 3rd ed.

Gonzalez & Woods

www.ImageProcessingPlace.com

## Chapter 9

### Morphological Image Processing



**FIGURE 9.8** (a) Structuring element  $B$  “rolling” along the inner boundary of  $A$  (the dot indicates the origin of  $B$ ). (b) Structuring element. (c) The heavy line is the outer boundary of the opening. (d) Complete opening (shaded). We did not shade  $A$  in (a) for clarity.

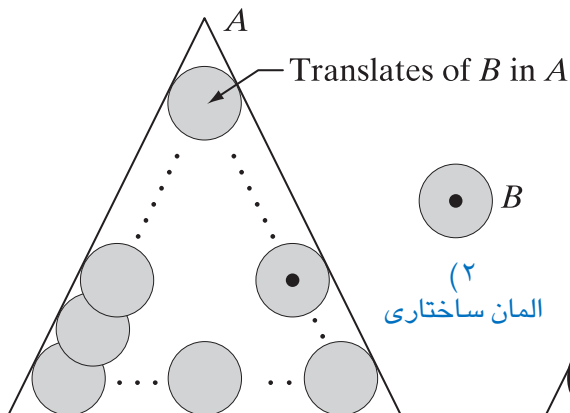
## باز کردن

مثال

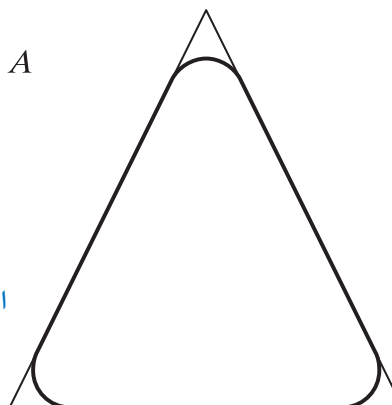
## OPENING

باز کردن  $A$  توسط  $B$ *The Opening of  $A$  by  $B$* 

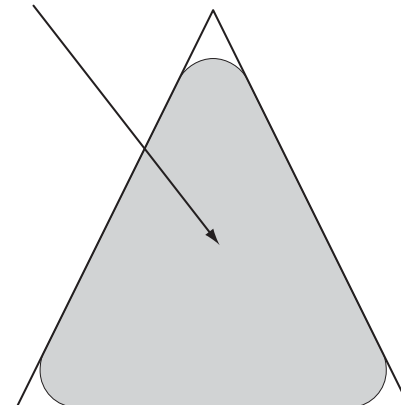
$$A \circ B = \bigcup \{(B)_z \mid (B)_z \subseteq A\}$$



(۱)  
چرخش المان ساختاری  $B$  در  
امتداد مرز داخلی  $A$



(۳)  
خط ضخیم،  
«مرز بیرونی» باز کردن است



(۴)  
حاصل باز کردن کامل  
(هاشوردار)

## بستن

هموارسازی + جوش دادن شکستگی‌های باریک و فواصل طولانی + حذف سوراخ‌های کوچک + پر کردن شکاف‌های کانتور

### CLOSING

#### بستن $A$ توسط $B$

*The Closing of  $A$  by  $B$*

بستن:

بخش‌هایی از کانتور را هموار می‌کند، شکستگی‌های باریک و فواصل طولانی را به هم جوش می‌دهد، سوراخ‌های کوچک را حذف می‌کند و شکاف‌های موجود در کانتور را پر می‌کند.

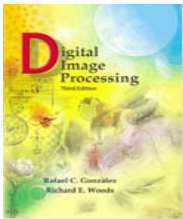
بستن  $A$  با  $B$  = گسترش  $A$  با  $B$  و سپس فرسایش حاصل با  $B$  است.

$$A \bullet B = (A \oplus B) \ominus B$$

$$A, B \subseteq \mathbb{Z}^2$$

تعبیر هندسی:

مرز  $A \circ B$  دورترین نقاطی است که المان ساختاری  $B$  (به صورت یک توپ هموار) در حال چرخش در خارج مرز  $A$  به آن می‌رسد.



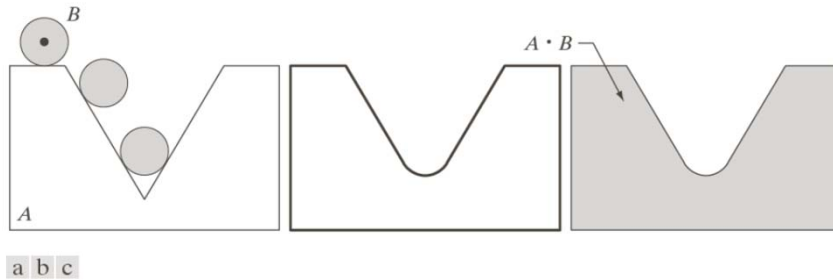
# Digital Image Processing, 3rd ed.

Gonzalez & Woods

www.ImageProcessingPlace.com

## Chapter 9

### Morphological Image Processing



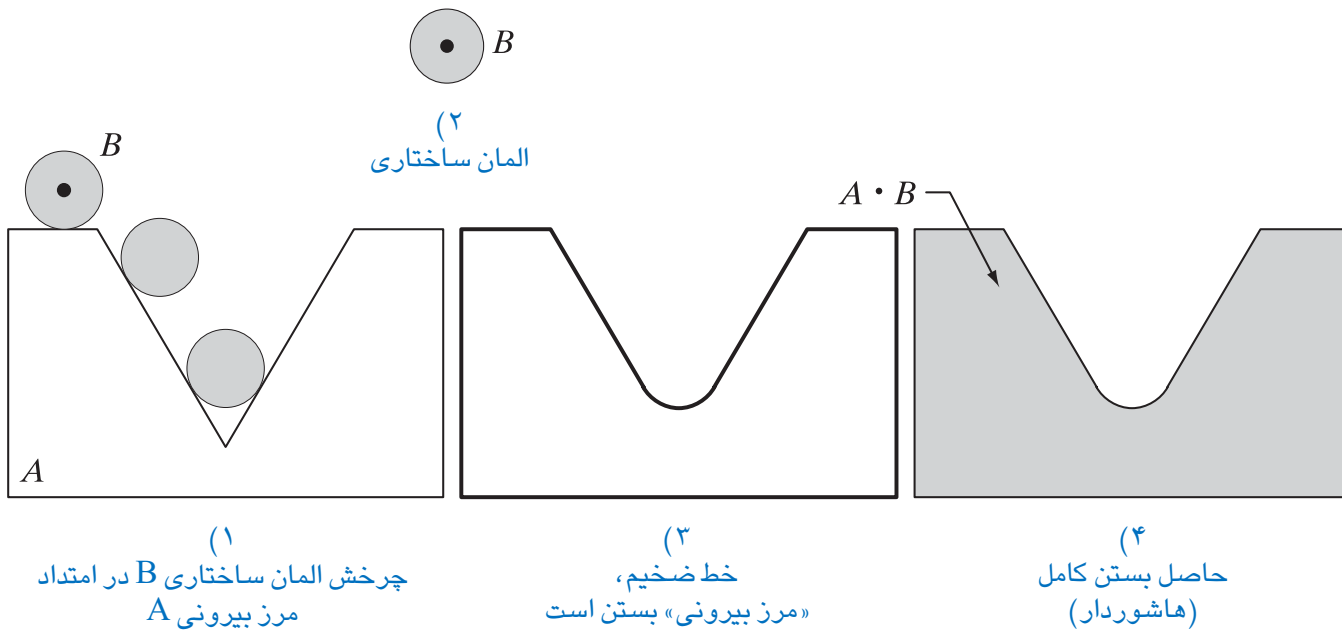
**FIGURE 9.9** (a) Structuring element  $B$  “rolling” on the outer boundary of set  $A$ . (b) The heavy line is the outer boundary of the closing. (c) Complete closing (shaded). We did not shade  $A$  in (a) for clarity.

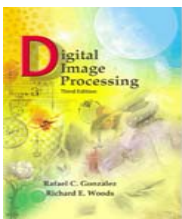
## بستن

مثال

## CLOSING

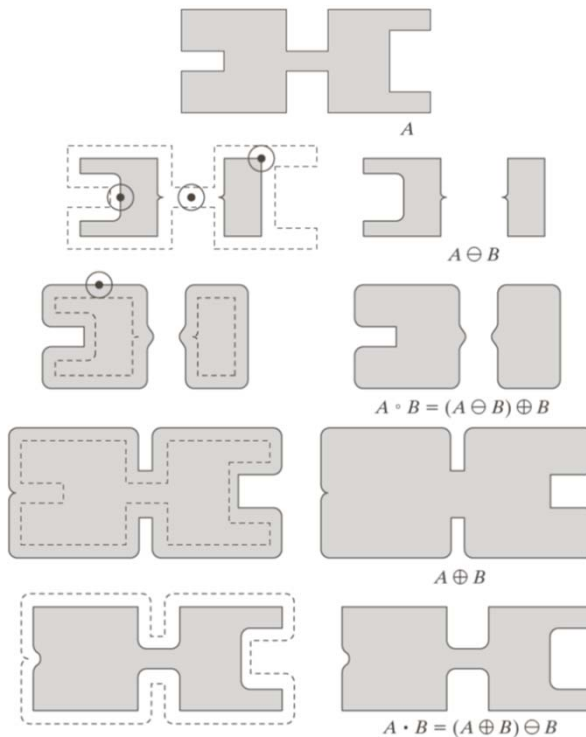
**بستن  $A$  توسط  $B$**   
*The Closing of  $A$  by  $B$*





## Chapter 9

### Morphological Image Processing



a  
b c  
d e  
f g  
h i

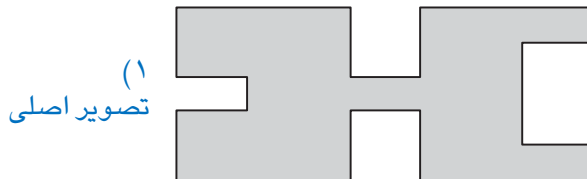
**FIGURE 9.10**  
Morphological opening and closing. The structuring element is the small circle shown in various positions in (b). The SE was not shaded here for clarity. The dark dot is the center of the structuring element.



# باز کردن و بستن

مثال (۱ از ۲)

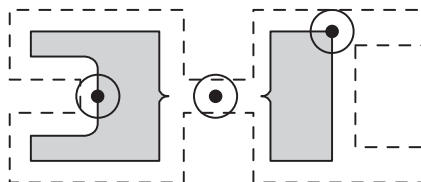
## OPENING AND CLOSING



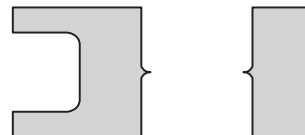
المان ساختاری

A

(۳) نتیجه‌ی تکمیل  
فرآیند فرسایش:

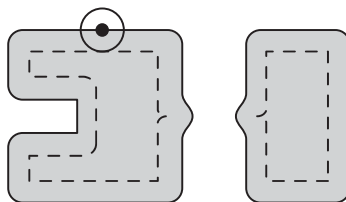


(۲) موقعیت‌های مختلف  
المان ساختاری دایره‌ای  
در حین فرآیند فرسایش

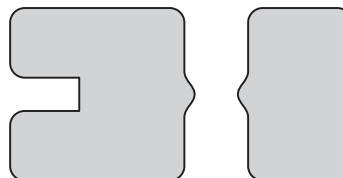


$A \ominus B$

حذف پل باریک بین دو  
بخش؛ برآمدگی‌هایی که  
دیسک B در آن جا نمی‌شده  
است، حذف شده است.



(۴) فرآیند گسترش  
حاصل  
فرسایش یافته (۳)



$A \circ B = (A \ominus B) \oplus B$

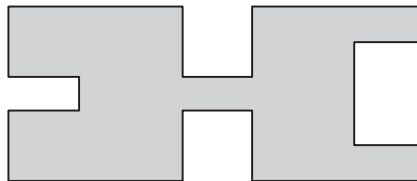
(۵) نتیجه‌ی تکمیل  
فرآیند گسترش:  
حاصل نهایی  
باز کردن

گوشه‌های به سمت  
بیرون گرد شده‌اند،  
اما گوشه‌های به سمت  
داخل تغییر نکرده‌اند.

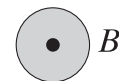
## باز کردن و بستن

مثال (۲ از ۲)

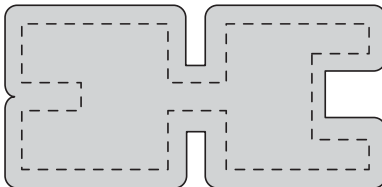
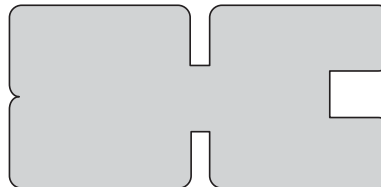
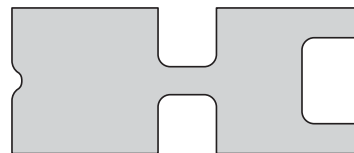
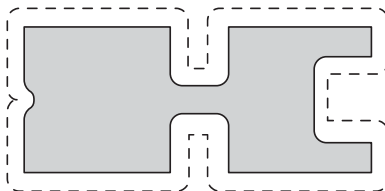
## OPENING AND CLOSING

(۱)  
تصویر اصلی

A



المان ساختاری

(۲)  
موقعیت‌های مختلف  
المان ساختاری دایره‌ای  
در حین فرآیند گسترش(۳)  
نتیجه‌ی تکمیل  
فرآیند گسترش: $A \oplus B$ نتیجه‌ی هموار شدن  
بخش‌هایی از شکل(۴)  
فرآیند فرسایش  
حاصل  
گسترش‌یافته (۳) $A \cdot B = (A \oplus B) \ominus B$ (۵)  
نتیجه‌ی تکمیل  
فرآیند فرسایش:  
حاصل نهایی  
بستنگوشه‌های به سمت  
داخل گرد شده‌اند، اما  
گوشه‌های به سمت  
بیرون تغییر نکرده‌اند.

## دوگانی باز کردن و بستن

DUALITY OF OPENING AND CLOSING

باز کردن و بستن (مانند فرسایش و گسترش)، نسبت به عمل‌های مجموعه‌ای متمم و بازتاب، دوگان یکدیگر هستند:

$$(A \bullet B)^c = (A^c \circ \hat{B})$$

$$(A \circ B)^c = (A^c \bullet \hat{B})$$

## خصوصیات باز کردن و بستن

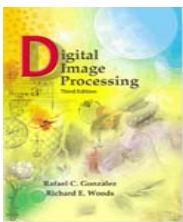
PROPERTIES OF OPENING AND CLOSING

## خصوصیات باز کردن

- (a)  $A \circ B$  is a subset (subimage) of  $A$ .
- (b) If  $C$  is a subset of  $D$ , then  $C \circ B$  is a subset of  $D \circ B$ .
- (c)  $(A \circ B) \circ B = A \circ B$ .

## خصوصیات بستن

- (a)  $A$  is a subset (subimage) of  $A \bullet B$ .
- (b) If  $C$  is a subset of  $D$ , then  $C \bullet B$  is a subset of  $D \bullet B$ .
- (c)  $(A \bullet B) \bullet B = A \bullet B$ .



# Digital Image Processing, 3rd ed.

Gonzalez & Woods

www.ImageProcessingPlace.com

## Chapter 9

## Morphological Image Processing



**FIGURE 9.11**

(a) Noisy image.  
 (b) Structuring element.  
 (c) Eroded image.  
 (d) Opening of  $A$ .  
 (e) Dilation of the opening.  
 (f) Closing of the opening.  
 (Original image courtesy of the National Institute of Standards and Technology.)

## باز کردن و بستن

مثال: فیلتر کردن مورفولوژیکال

### OPENING AND CLOSING: MORPHOLOGICAL FILTERING

(۱)  
تصویر اثر انگشت  
دارای نویز



$A$   
 $A \ominus B$

1	1	1
1	1	1
1	1	1

(۲)  
المان ساختاری

(۳)  
تصویر فرسایش یافته



(۴)  
باز کردن A



$$(A \ominus B) \oplus B = A \circ B$$

$$(A \circ B) \oplus B$$

$$[(A \circ B) \oplus B] \ominus B = (A \circ B) \cdot B$$

(۵)  
گسترش باز کردن



۴

تبدیل  
هیت  
یا  
میس

# تبدیل هیت یا میس (اصابت یا فقدان)

## THE HIT-OR-MISS TRANSFORMATION

### تبدیل هیت یا میس

*The Hit-or-Miss Transformation*

می‌خواهیم مکان شیء  $D$  را بیابیم.  
اگر  $B$  مجموعه‌ی شامل  $D$  و پس‌زمینه‌ی آن باشد،  
اصابت (هیت)  $B$  در  $A$  عبارت است از:

$$A \circledast B = (A \ominus D) \cap [A^c \ominus (W - D)]$$

بخش حاوی شیء اصلی و بخش حاوی پس‌زمینه‌ی آن را تفکیک می‌کنیم:

$$B = (B_1, B_2), \quad B_1 = D \quad B_2 = (W - D).$$

داریم:

$$A \circledast B = (A \ominus B_1) \cap (A^c \ominus B_2)$$

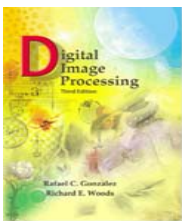
با استفاده از تعریف تفاضل مجموعه‌ها و رابطه‌ی دوگانی فرسایش و گسترش، داریم:

$$A \circledast B = (A \ominus B_1) - (A \oplus \hat{B}_2)$$

**تبدیل مورفولوژیکی هیت یا میس:**

مجموعه پیکسل‌هایی که با  $B_1$  مطابقت دارند (*hit*) و همزمان با هیچ‌یک از پیکسل‌های  $B_2$  مطابقت ندارند (*miss*).





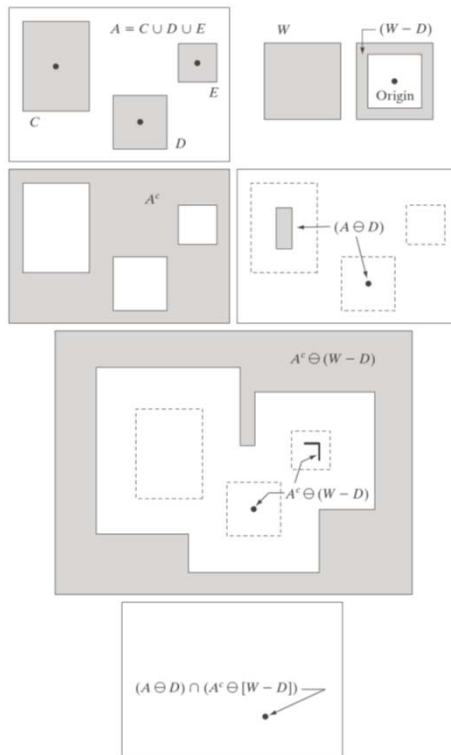
# Digital Image Processing, 3rd ed.

Gonzalez & Woods

www.ImageProcessingPlace.com

## Chapter 9

### Morphological Image Processing



a b  
c d  
e  
f

**FIGURE 9.12**

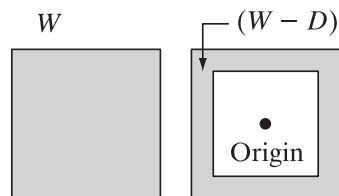
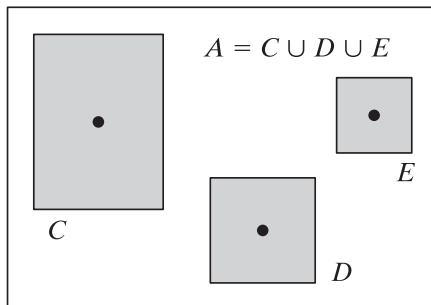
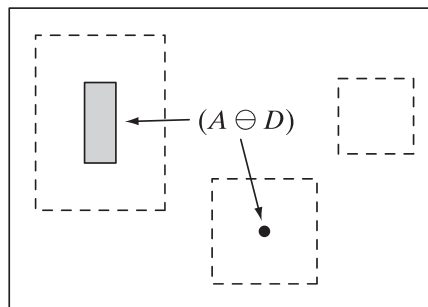
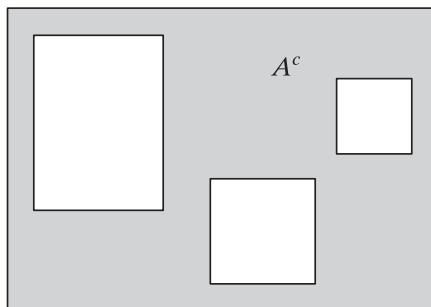
(a) Set  $A$ . (b) A window,  $W$ , and the local background of  $D$  with respect to  $W$ ,  $(W - D)$ .

(c) Complement of  $A$ . (d) Erosion of  $A$  by  $D$ .

(e) Erosion of  $A^c$  by  $(W - D)$ .

(f) Intersection of (d) and (e), showing the location of the origin of  $D$ , as desired. The dots indicate the origins of  $C$ ,  $D$ , and  $E$ .

## تبدیل هیت یا میس (اصابت یا فقدان)

مثال: هدف آشکارسازی محل شکل  $D$  (۱ از ۲)THE HIT-OR-MISS TRANSFORMATION(۱)  
مجموعه‌ی  $A$ (۲)  
پنجره‌ی  $W$  و  
پس‌زمینه‌ی محلی  
 $D$  نسبت به  $W$ :  
 $W-D$ (۳)  
مکمل مجموعه‌ی  $A$ (۴)  
فرسایش  $A$  توسط  
 $D$ 

$$A \otimes B = (A \ominus D) \cap [A^c \ominus (W - D)]$$

$$A \otimes B = (A \ominus B_1) \cap (A^c \ominus B_2)$$

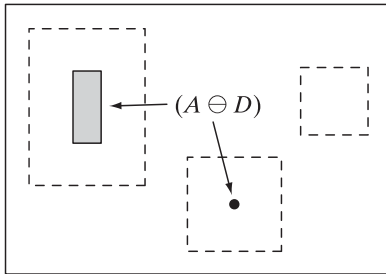
## تبدیل هیت یا میس (اصابت یا فقدان)

مثال: هدف آشکارسازی محل شکل  $D$  (۲ از ۲)THE HIT-OR-MISS TRANSFORMATION

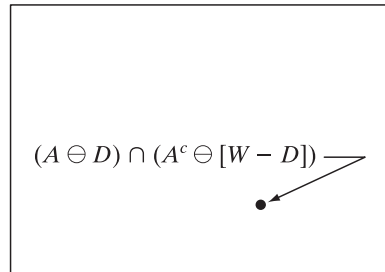
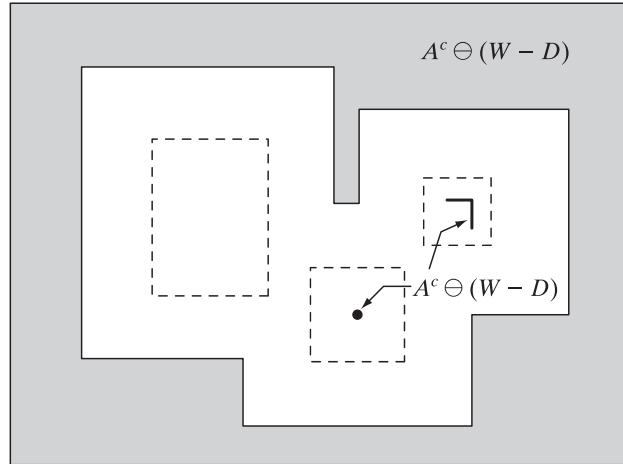
(۵)

فرسایش  $A$  توسط  $W-D$ 

$$B = (X, W - X)$$



(۴)

فرسایش  $A$  توسط  $D$ 

(۶)

اشتراک (۴) و (۵):  
مکان مرکز  $D$  با یک نقطه  
نشان داده شده است.

# ۵

## برخی الگوریتم‌های مورفولوژیکی پایه

## برخی الگوریتم‌های مورفولوژیکی پایه

### SOME BASIC MORPHOLOGICAL ALGORITHMS

استخراج مرز

*Boundary Extraction*

پر کردن حفره

*Hole Filling*

استخراج مؤلفه‌های همبند

*Extraction of Connected Components*

نازک‌سازی

*Thinning*

ضخیم‌سازی

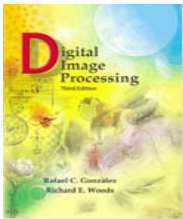
*Thickening*

استخراج اسکلت

*Skeletons Extraction*

هرس کردن

*Pruning*



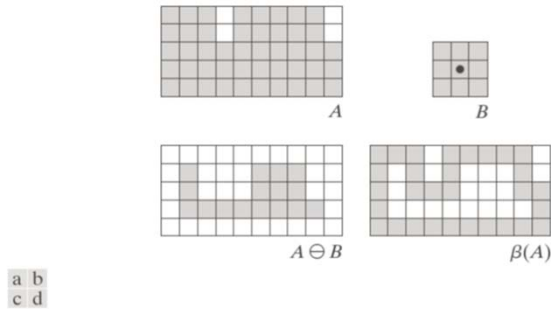
# Digital Image Processing, 3rd ed.

Gonzalez & Woods

www.ImageProcessingPlace.com

## Chapter 9

## Morphological Image Processing

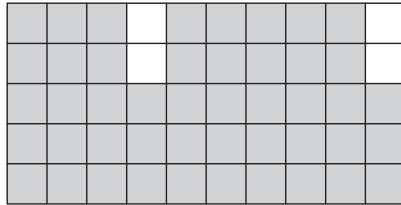


**FIGURE 9.13** (a) Set  $A$ . (b) Structuring element  $B$ . (c)  $A$  eroded by  $B$ . (d) Boundary, given by the set difference between  $A$  and its erosion.

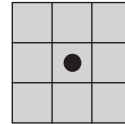
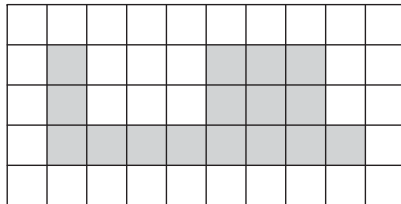
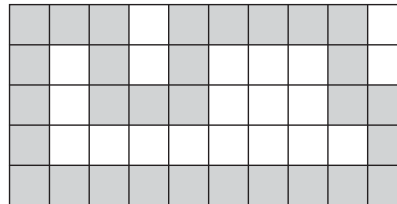
## استخراج مرز

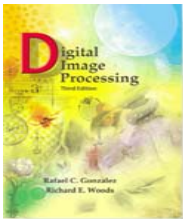
BOUNDARY EXTRACTION

$$\beta(A) = A - (A \ominus B)$$

 $A$ 

ضخامت مرز با اندازه‌ی المان ساختاری  $B$  متناسب است.

 $B$  $A \ominus B$  $\beta(A)$



# *Digital Image Processing, 3rd ed.*

Gonzalez & Woods

www.ImageProcessingPlace.com

## Chapter 9

### Morphological Image Processing



a b

**FIGURE 9.14**

(a) A simple binary image, with 1s represented in white. (b) Result of using Eq. (9.5-1) with the structuring element in Fig. 9.13(b).



## استخراج مرز

مثال

BOUNDARY EXTRACTION $A$ 

$$\beta(A) = A - (A \ominus B)$$

 $B$

## پر کردن حفره

HOLE FILLINGحفره  
*Hole*

ناحیه‌ای از پس‌زمینه که توسط مرز همبندی از پیکسل‌های پس‌زمینه احاطه شده است.

## پر کردن حفره:

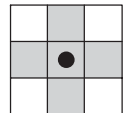
فرض می‌کنیم  $A$  مجموعه‌ای باشد که اعضای آن مرزهای ۸-همبند باشد.  
 هر مرز حول یک نقطه پس‌زمینه (حفره) قرار دارد.  
 با داشتن یک نقطه از هر حفره، هدف پر کردن همه‌ی حفره‌ها با 1 است.

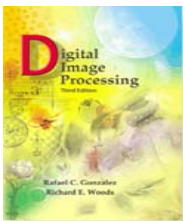
## الگوریتم پر کردن حفره

$$X_k = (X_{k-1} \oplus B) \cap A^c \quad k = 1, 2, 3, \dots$$

$X_0 = p$   $p$  is an initial point inside the hole boundary

Repeat until  $X_k = X_{k-1}$ .

 $B$



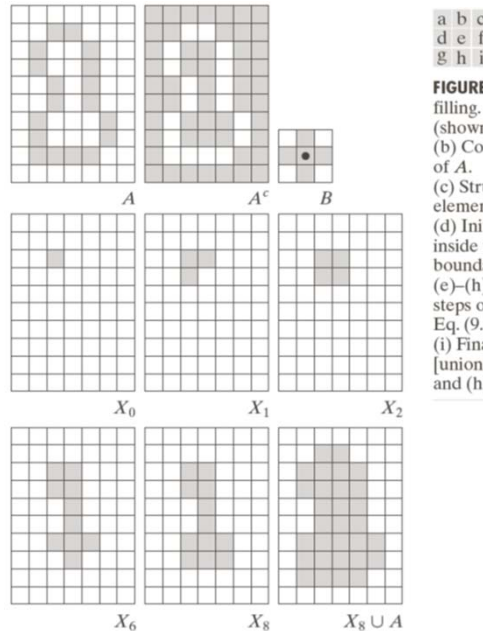
# Digital Image Processing, 3rd ed.

Gonzalez & Woods

www.ImageProcessingPlace.com

## Chapter 9

## Morphological Image Processing



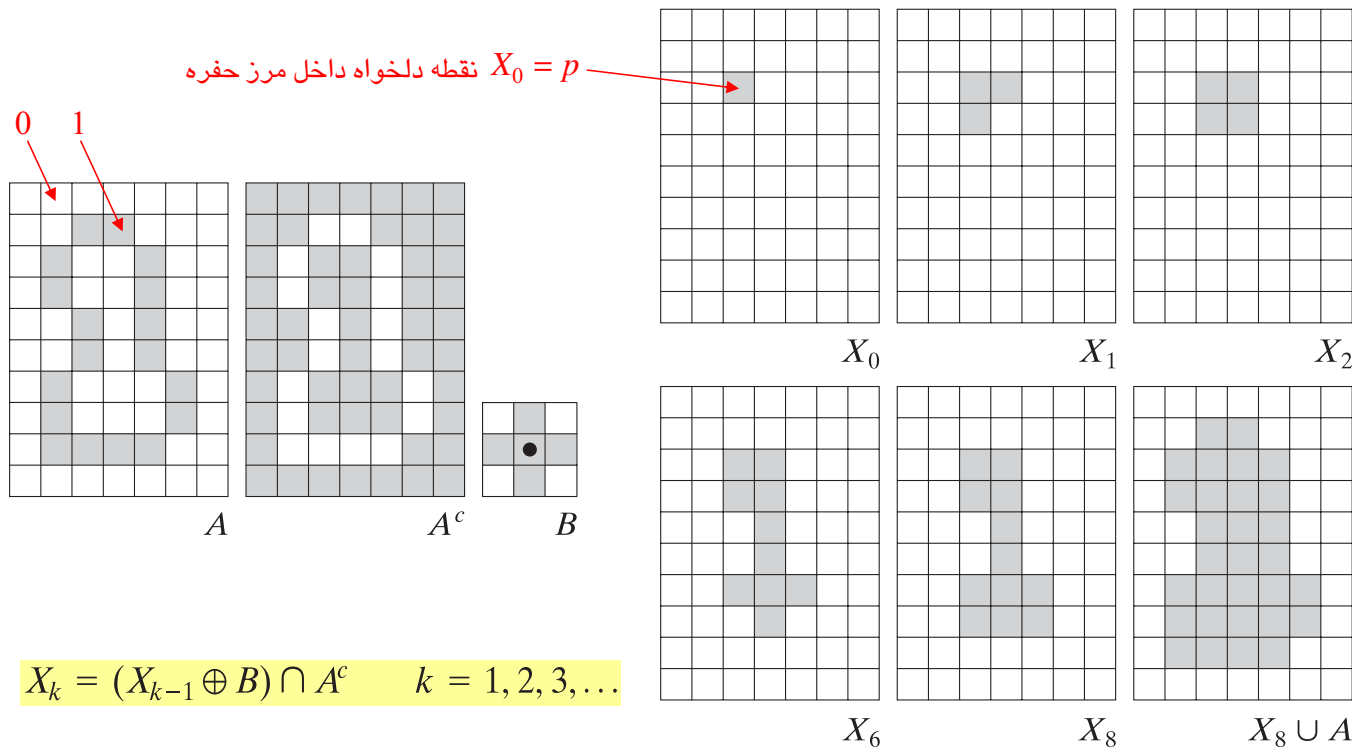
a	b	c
d	e	f
g	h	i

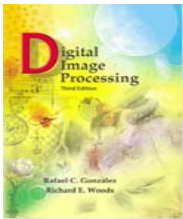
**FIGURE 9.15** Hole filling. (a) Set  $A$  (shown shaded). (b) Complement of  $A$ . (c) Structuring element  $B$ . (d) Initial point inside the boundary. (e)–(h) Various steps of Eq. (9.5-2). (i) Final result [union of (a) and (h)].

## پر کردن حفره

مثال

## HOLE FILLING





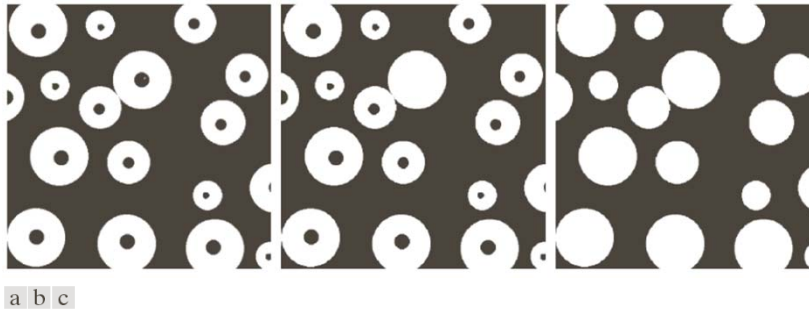
# *Digital Image Processing, 3rd ed.*

Gonzalez & Woods

[www.ImageProcessingPlace.com](http://www.ImageProcessingPlace.com)

## Chapter 9

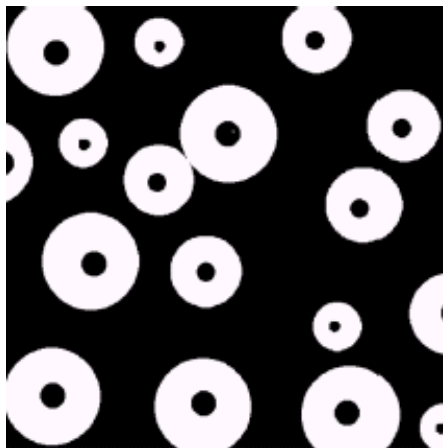
### Morphological Image Processing



**FIGURE 9.16** (a) Binary image (the white dot inside one of the regions is the starting point for the hole-filling algorithm). (b) Result of filling that region. (c) Result of filling all holes.

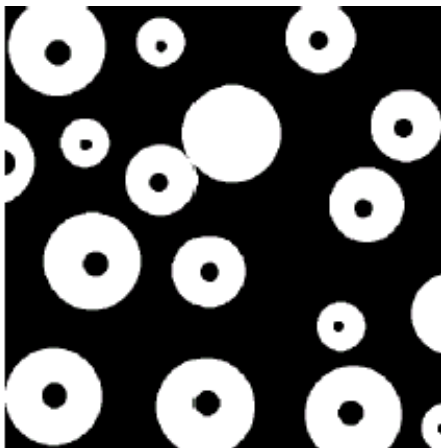
## پر کردن حفره

مثال

HOLE FILLING

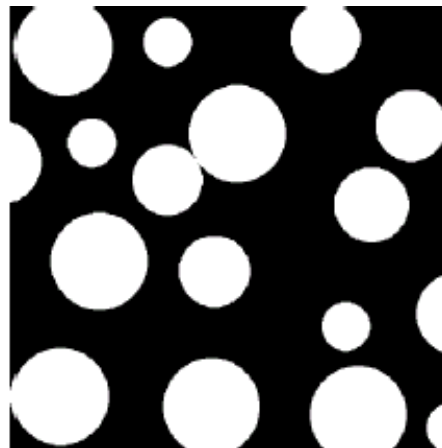
(۱)

تصویر دودویی  
(یک نقطه‌ی سفید داخل هر یک از  
ناحیه‌ها، نقطه‌ی شروع الگوریتم پر  
کردن حفره است)



(۲)

نتیجه‌ی پر کردن آن حفره



(۳)

نتیجه‌ی پر کردن همه‌ی حفره‌ها

## استخراج مؤلفه‌های همبند

### EXTRACTION OF CONNECTED COMPONENTS

#### همبندی

*Connectivity*

همبندی در زیر مجموعه‌ی  $S$  از یک تصویر:  
 دو پیکسل همبند هستند، هرگاه مسیری بین آن دو وجود داشته باشد که کاملاً درون  $S$  قرار گیرد.

#### مؤلفه‌ی همبند

*Connected Component*

مؤلفه‌ی همبند  $S$ :  
 مجموعه‌ی همه‌ی پیکسل‌ها در  $S$  که به یک پیکسل داده شده در  $S$  همبند باشد.

### استخراج مؤلفه‌های همبند:

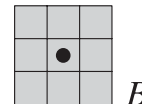
فرض می‌کنیم  $A$  مجموعه‌ای باشد حاوی یک یا چند مؤلفه‌ی همبند؛  
 آرایه‌ی  $X_0$  هم‌اندازه با  $A$  با مقدار صفر که فقط در یک نقطه از هر مؤلفه‌ی همبند 1 است.  
 هدف یافتن همه‌ی مؤلفه‌های همبند است.

### الگوریتم استخراج مؤلفه‌های همبند

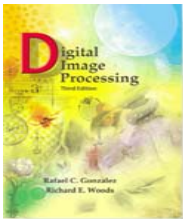
$$X_k = (X_{k-1} \oplus B) \cap A \quad k = 1, 2, 3, \dots$$

$X_0 = p$   $p$  is an initial point inside the connected component

Repeat until  $X_k = X_{k-1}$ .



$B$



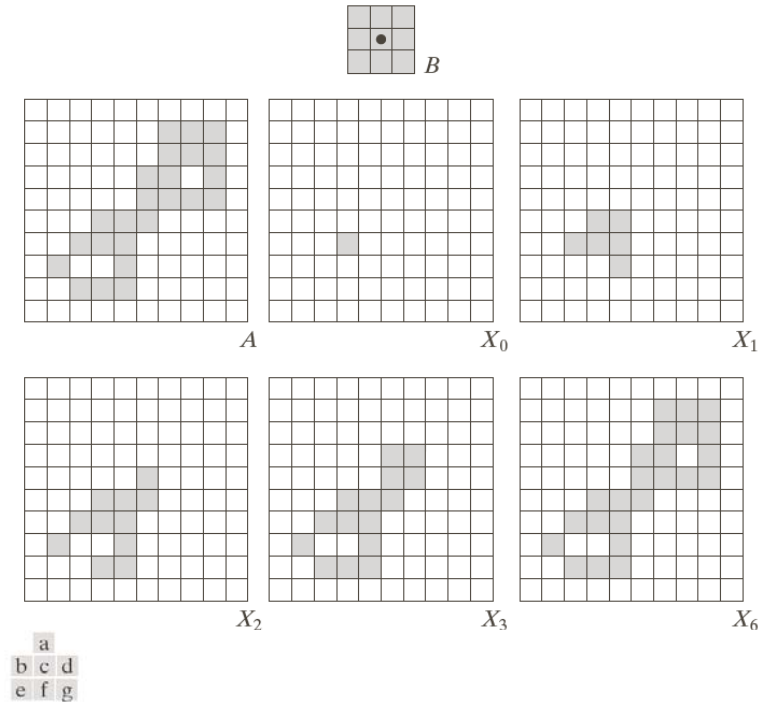
# Digital Image Processing, 3rd ed.

Gonzalez & Woods

www.ImageProcessingPlace.com

## Chapter 9

### Morphological Image Processing



**FIGURE 9.17** Extracting connected components. (a) Structuring element. (b) Array containing a set with one connected component. (c) Initial array containing a 1 in the region of the connected component. (d)–(g) Various steps in the iteration of Eq. (9.5-3).

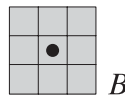


# استخراج مؤلفه‌های همبند

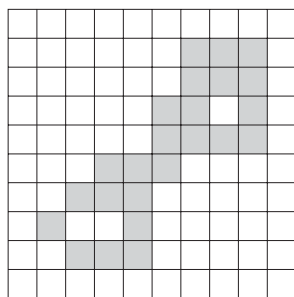
مثال

## EXTRACTION OF CONNECTED COMPONENTS

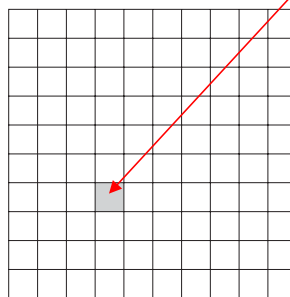
$$X_k = (X_{k-1} \oplus B) \cap A \quad k = 1, 2, 3, \dots$$



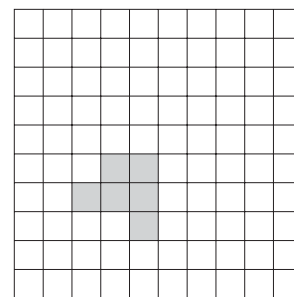
$X_0 = p$  نقطه دلخواه داخل مؤلفه‌ی همبند



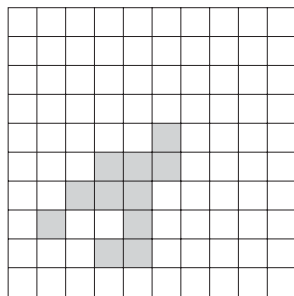
A



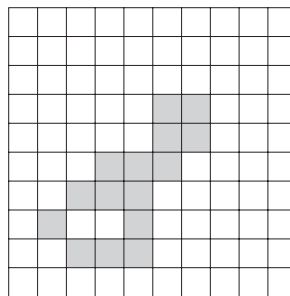
$X_0$



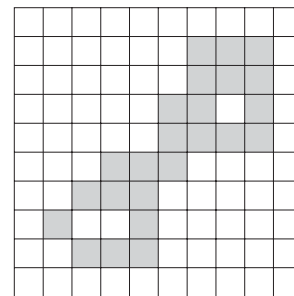
$X_1$



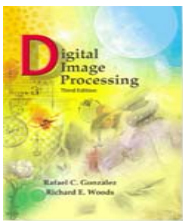
$X_2$



$X_3$



$X_6$



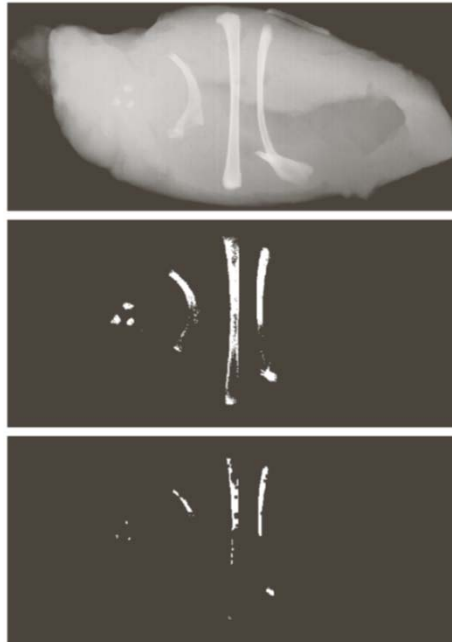
# Digital Image Processing, 3rd ed.

Gonzalez & Woods

www.ImageProcessingPlace.com

## Chapter 9

### Morphological Image Processing



Connected component	No. of pixels in connected comp
01	11
02	9
03	9
04	39
05	133
06	1
07	1
08	743
09	7
10	11
11	11
12	9
13	9
14	674
15	85

a  
b  
c d

**FIGURE 9.18**

(a) X-ray image of chicken file with bone fragments.

(b) Thresholded image. (c) Image eroded with a  $5 \times 5$  structuring element of 1s.

(d) Number of pixels in the connected components of (c). (Image courtesy of NTB

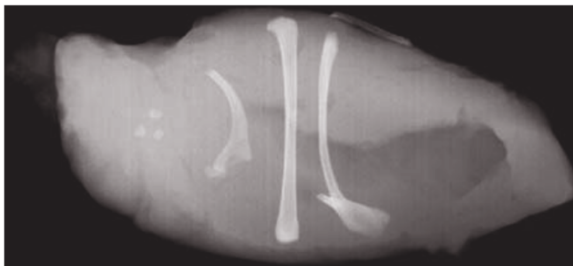
Elektronische Geraete GmbH, Diepholz, Germany, [www.ntbxray.com](http://www.ntbxray.com).)

## استخراج مؤلفه‌های همبند

مثال

### EXTRACTION OF CONNECTED COMPONENTS

(۱)  
تصویر اشعه‌ی ایکس  
از سینه‌ی مرغ با قطعات استخوان



(۲)  
تصویر آستانه‌گذاری شده



(۳)  
تصویر فرسایش‌یافته با یک  
المان ساختاری ۵ در ۵ تمام ۱



(۴)  
تعداد پیکسل‌ها در هر  
مؤلفه‌ی همبند تصویر (۳)  
(با برچسب‌گذاری روی  
پیکسل‌های هر مؤلفه)

Connected component	No. of pixels in connected comp
01	11
02	9
03	9
04	39
05	133
06	1
07	1
08	743
09	7
10	11
11	11
12	9
13	9
14	674
15	85

## استخراج پوسته‌ی محدب

## EXTRACTION OF CONVEX HULL

محدب بودن

Convexity

مجموعه‌ی  $A$  محدب نام دارد،  
اگر خط راست متصل کننده‌ی هر دو نقطه‌ی دلخواه در  $A$  کاملاً داخل  $A$  قرار گیرد.

پوسته‌ی محدب

Convex Hull

پوسته‌ی محدب  $H$  مجموعه‌ی دلخواه  $S$ :  
کوچک‌ترین مجموعه‌ی محدب شامل  $S$  می‌باشد.

استخراج پوسته‌ی محدب:

با داشتن مجموعه‌ی  $A$ ، هدف یافتن پوسته‌ی محدب آن  $C(A)$  است.

## الگوریتم استخراج پوسته‌ی محدب

$$X_k^i = (X_{k-1} \circledast B^i) \cup A \quad i = 1, 2, 3, 4 \quad \text{and} \quad k = 1, 2, 3, \dots$$

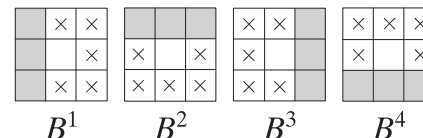
$$X_0^i = A$$

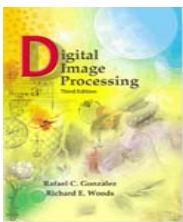
Repeat until  $X_k^i = X_{k-1}^i$

$$D^i = X_k^i$$

$$C(A) = \bigcup_{i=1}^4 D^i$$

$$B^i, i = 1, 2, 3, 4,$$





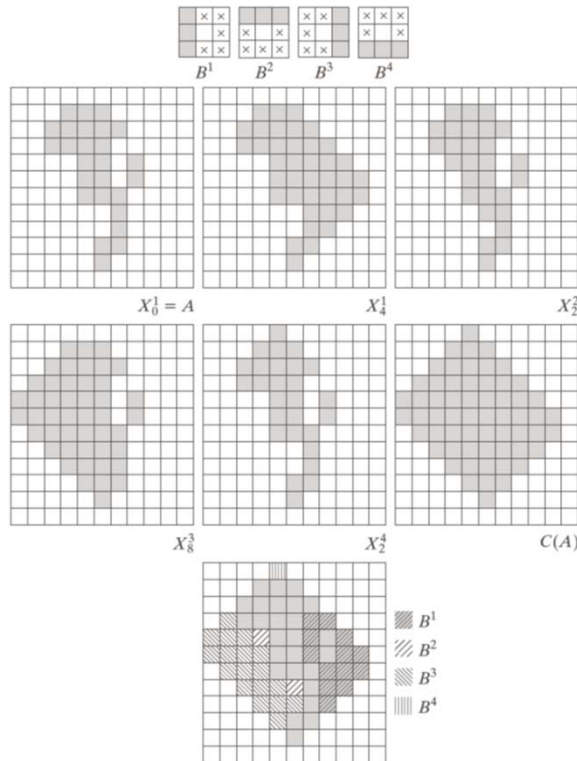
# Digital Image Processing, 3rd ed.

Gonzalez & Woods

www.ImageProcessingPlace.com

## Chapter 9

## Morphological Image Processing

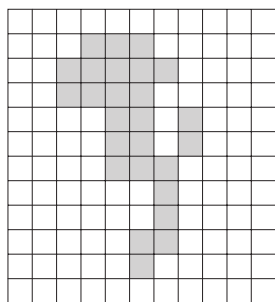
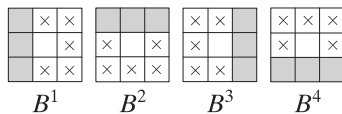
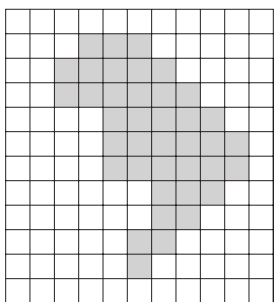
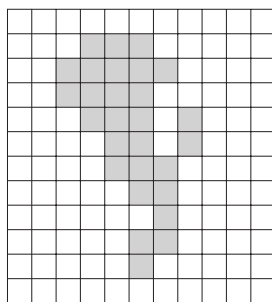
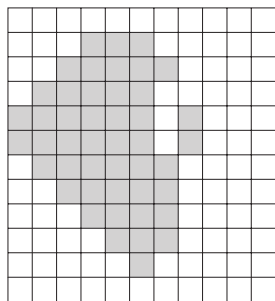
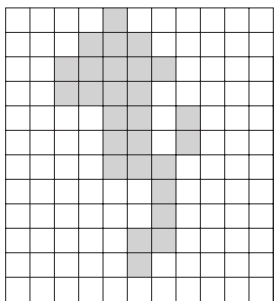
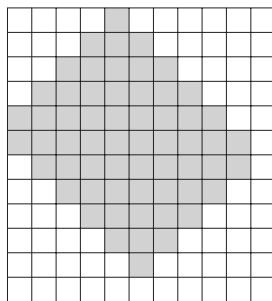
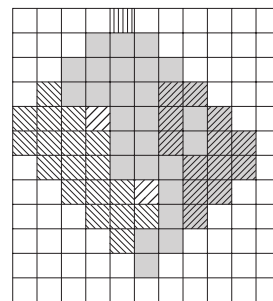


a  
b c d  
e f g  
h

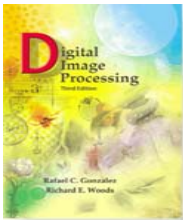
**FIGURE 9.19**  
(a) Structuring elements. (b) Set  $A$ . (c)–(f) Results of convergence with the structuring elements shown in (a). (g) Convex hull. (h) Convex hull showing the contribution of each structuring element.

## استخراج پوسته‌ی محدب

مثال

EXTRACTION OF CONVEX HULL $X_0^1 = A$  $X_4^1$  $X_2^2$  $X_8^3$  $X_2^4$  $C(A)$ 

$B^1$   
 $B^2$   
 $B^3$   
 $B^4$



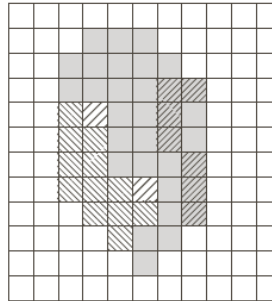
# *Digital Image Processing, 3rd ed.*

Gonzalez & Woods

[www.ImageProcessingPlace.com](http://www.ImageProcessingPlace.com)

## Chapter 9

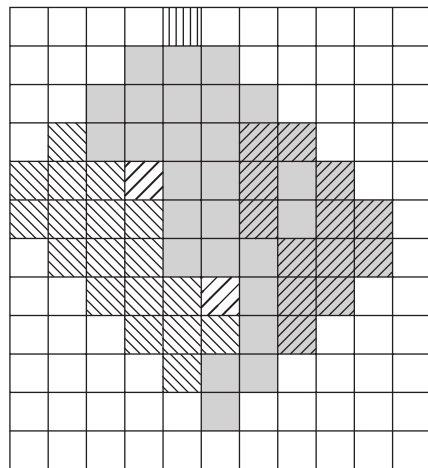
### Morphological Image Processing



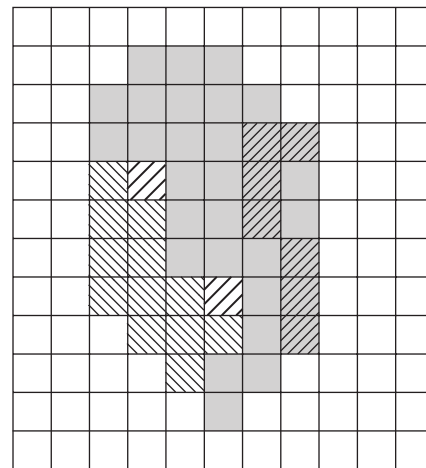
**FIGURE 9.20**  
Result of limiting growth of the convex hull algorithm to the maximum dimensions of the original set of points along the vertical and horizontal directions.

## استخراج پوسته‌ی محدب

مثال

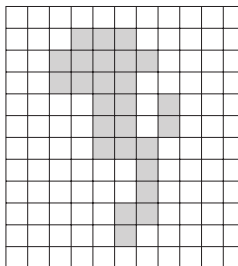
EXTRACTION OF CONVEX HULL

$B^1$   
 $B^2$   
 $B^3$   
 $B^4$



(۱)

یک نقص واضح در الگوریتم:  
پوسته‌ی محدب ممکن است از حداقل ابعاد  
لازم برای محدب بودن بزرگ‌تر باشد.



(۲)

کاهش این نقص:  
محدود کردن رشد پوسته به میزانی که از  
ابعاد عمودی و افقی مجموعه نقاط اصلی  
فراتر نرود.



## نازک‌سازی

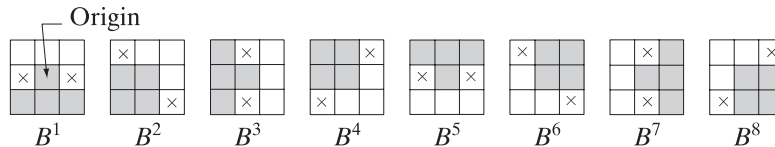
## THINNING

نازک‌سازی مجموعه‌ی  $A$  توسط المان ساختاری  $B$ :

$$A \otimes B = A - (A \circledast B)$$

$$= A \cap (A \circledast B)^c$$

## الگوریتم نازک‌سازی



$$\{B\} = \{B^1, B^2, B^3, \dots, B^n\}$$

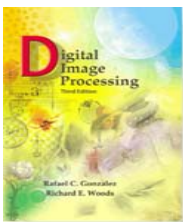
where  $B^i$  is a rotated version of  $B^{i-1}$ .

$$A \otimes \{B\} = (((A \otimes B^1) \otimes B^2) \dots) \otimes B^n$$

$A$  طی یک گذر با  $B^1$  نازک می‌شود، سپس نتیجه طی یک گذر با  $B^2$  نازک می‌شود و ... تا اینکه  $A$  طی یک گذر با  $B^n$  نازک می‌شود.

کل فرآیند فوق تکرار می‌شود تا دیگر هیچ تغییری رخ ندهد.

هر بار گذر برای نازک‌سازی با رابطه‌ی  $A \otimes B$  انجام می‌شود.



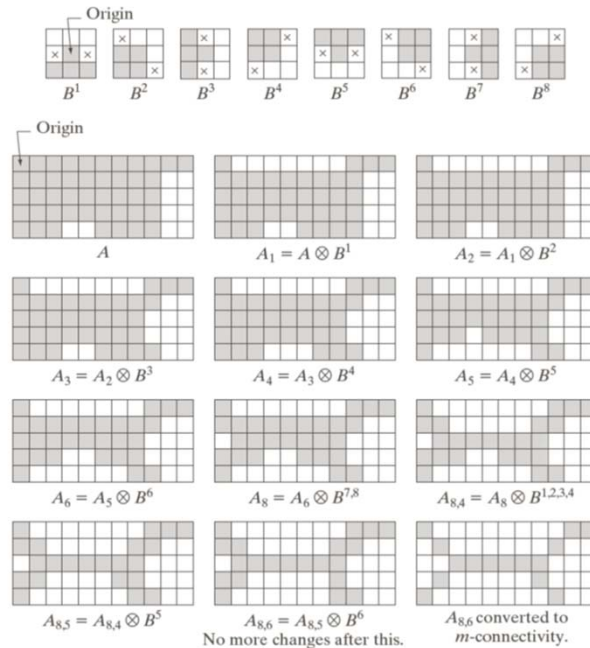
# Digital Image Processing, 3rd ed.

Gonzalez & Woods

www.ImageProcessingPlace.com

## Chapter 9

### Morphological Image Processing



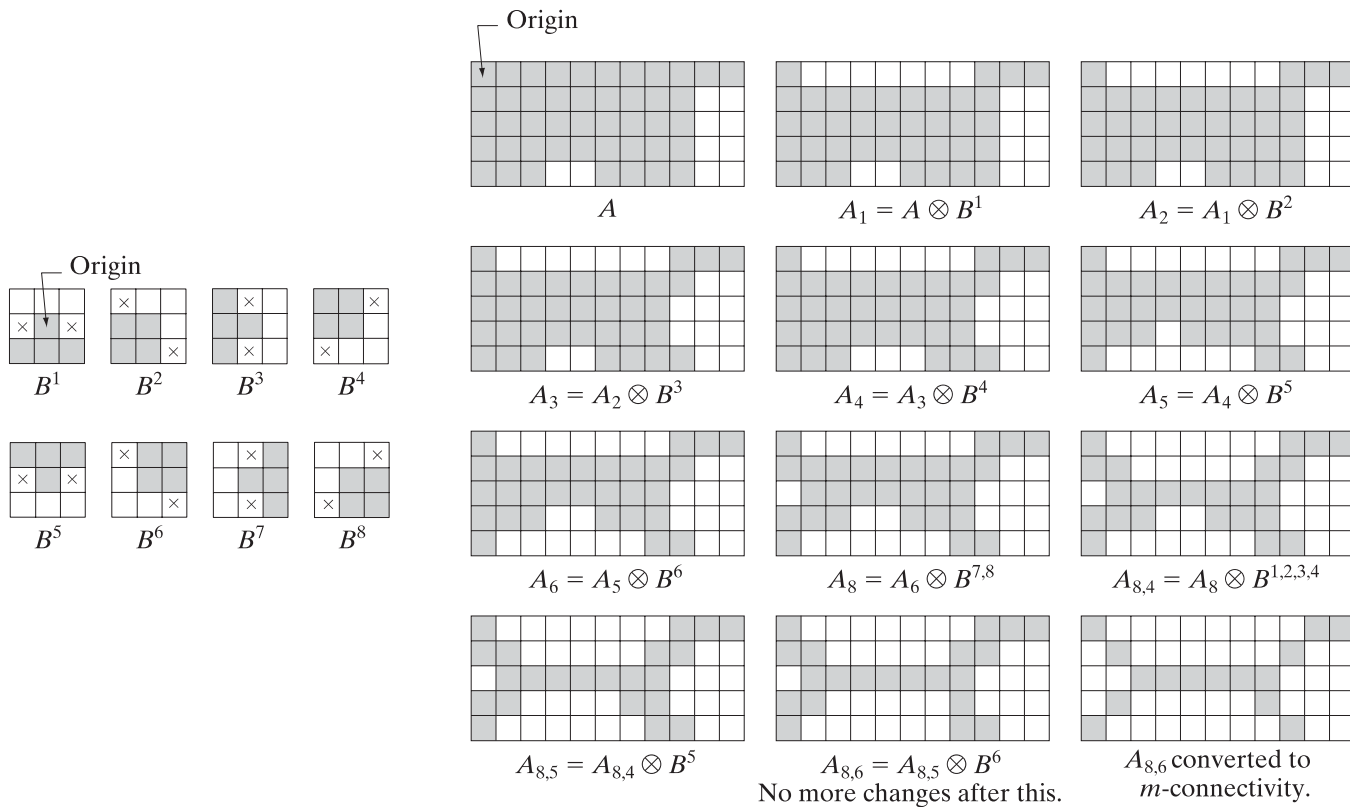
**FIGURE 9.21** (a) Sequence of rotated structuring elements used for thinning. (b) Set  $A$ . (c) Result of thinning with the first element. (d)–(i) Results of thinning with the next seven elements (there was no change between the seventh and eighth elements). (j) Result of using the first four elements again. (l) Result after convergence. (m) Conversion to  $m$ -connectivity.

a
b c d
e f g
h i j
k l m

## نازک‌سازی

مثال

## THINNING



## ضخیم سازی

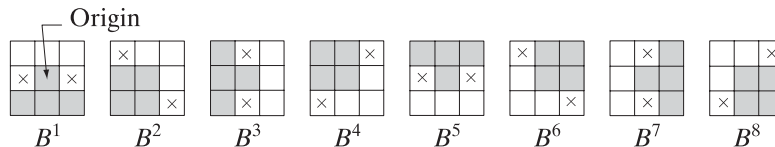
## THICKENING

ضخیم سازی مجموعه ی  $A$  توسط المان ساختاری  $B$ :

$$A \odot B = A \cup (A \circledast B)$$

## الگوریتم ضخیم سازی

صفر و یک ها  
برخلاف  
المان های ساختاری  
نازک سازی



$$\{B\} = \{B^1, B^2, B^3, \dots, B^n\}$$

where  $B^i$  is a rotated version of  $B^{i-1}$ .

$$A \odot \{B\} = ((\dots((A \odot B^1) \odot B^2) \dots) \odot B^n)$$

$A$  طی یک گذر با  $B^1$  ضخیم می شود، سپس نتیجه طی یک گذر با  $B^2$  ضخیم می شود و ... تا اینکه  $A$  طی یک گذر با  $B^n$  ضخیم می شود.

کل فرآیند فوق تکرار می شود تا دیگر هیچ تغییری رخ ندهد.

هر بار گذر برای ضخیم سازی با رابطه ی  $A \odot B$  انجام می شود.

## ضخیم‌سازی

الگوریتم جایگزین بر پایه‌ی نازک‌سازی

### THICKENING

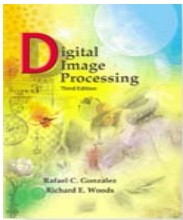
ضخیم‌سازی مجموعه‌ی  $A$  توسط المان ساختاری  $B$ :

$$A \odot B = A \cup (A \circledast B)$$

### الگوریتم ضخیم‌سازی

پس‌زمینه‌ی مجموعه‌ی مورد نظر  $A$  را نازک‌سازی می‌کنیم  
و حاصل را مکمل می‌کنیم:

$$C = A^c \Rightarrow \text{thin } C \Rightarrow C^c$$



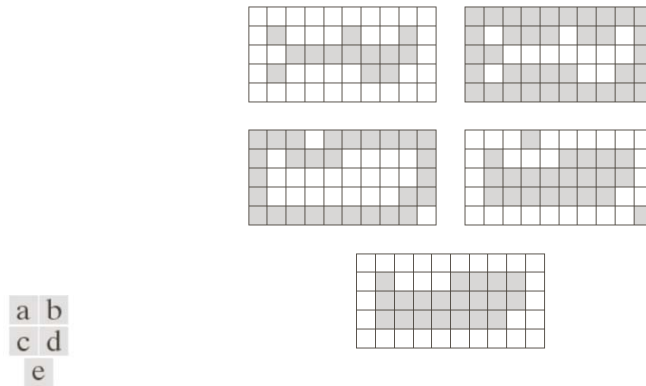
# Digital Image Processing, 3rd ed.

Gonzalez & Woods

www.ImageProcessingPlace.com

## Chapter 9

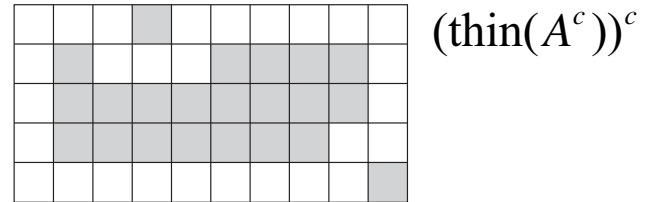
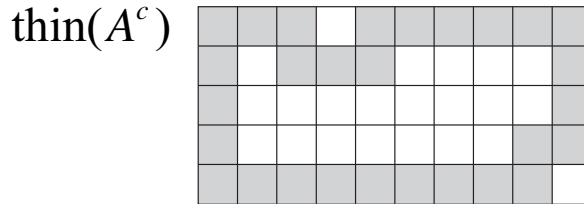
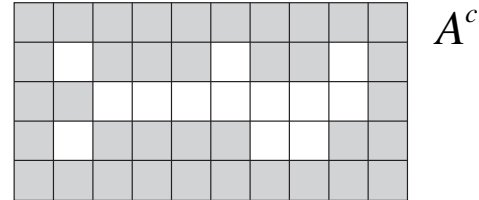
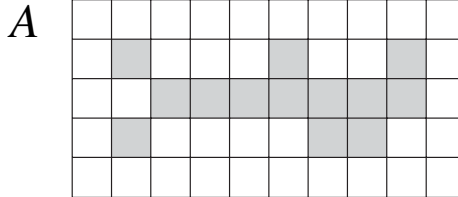
### Morphological Image Processing



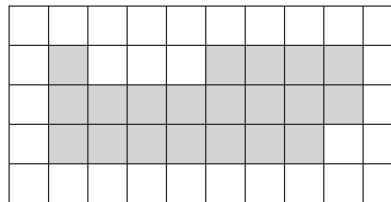
**FIGURE 9.22** (a) Set  $A$ . (b) Complement of  $A$ . (c) Result of thinning the complement of  $A$ . (d) Thickened set obtained by complementing (c). (e) Final result, with no disconnected points.

## ضخیم‌سازی

مثال

THICKENING

↑  
پس‌زمینه‌ی باریک‌شده‌ی مرز  
(این پس‌زمینه در الگوریتم مستقیم حضور  
ندارد.)



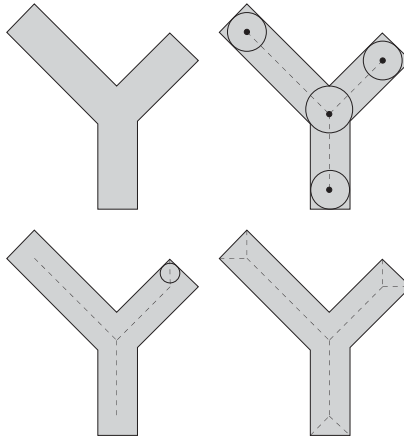
←  
نتیجه‌ی نهایی ضخیم‌سازی:  
پس از حذف نقاط جدا از هم  
(که در اثر این فرآیند احتمال تولید دارند.)

## استخراج اسکلت‌ها

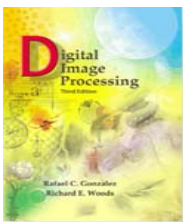
EXTRACTION OF SKELETONS

اسکلت  
*Skeleton*

مجموعه‌ی  $S(A)$  به عنوان اسکلت مجموعه‌ی  $A$  به صورت زیر تعریف می‌شود:  
 الف. اگر  $z$  یک نقطه از  $S(A)$  باشد و  $(D)_z$  بزرگ‌ترین دیسک با مرکز  $z$  باشد که کاملاً داخل  $A$  قرار می‌گیرد، نتوان دیسک بزرگ‌تری (نه لزوماً به مرکز  $z$ ) یافت که  $(D)_z$  را شامل شود و کاملاً داخل  $A$  باشد.  
 ب. دیسک  $(D)_z$  با مرکز  $A$  در دو یا چند مکان مختلف تماس دارد.

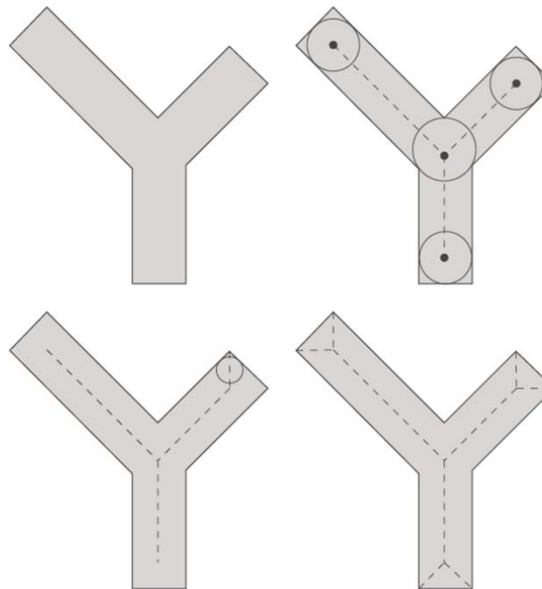






## Chapter 9

# Morphological Image Processing



a b  
c d

**FIGURE 9.23**

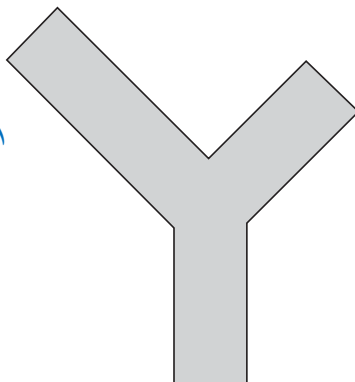
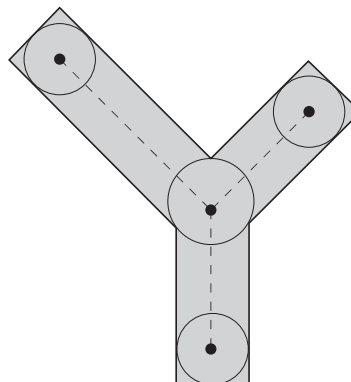
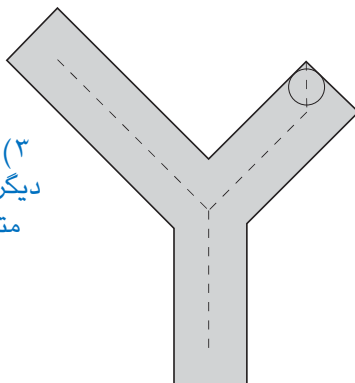
(a) Set  $A$ .  
(b) Various positions of maximum disks with centers on the skeleton of  $A$ .  
(c) Another maximum disk on a different segment of the skeleton of  $A$ .  
(d) Complete skeleton.

## استخراج اسکلت‌ها

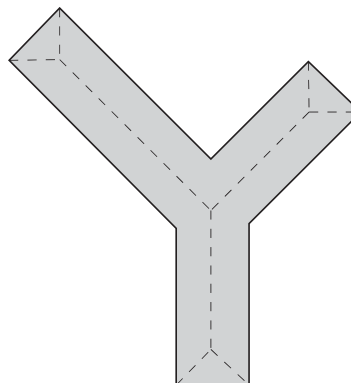
مثال

EXTRACTION OF SKELETONS

(۱) یک مجموعه A

(۲) موقعیت‌های مختلف  
برای دیسک‌های ماکزیمم(مرکز دیسک‌ها روی  
اسکلت است)(۳) یک دیسک ماکزیمم  
دیگر بر روی یک قطعه‌ی  
متفاوت از اسکلت A

(۴) اسکلت کامل



## استخراج اسکلتها

## الگوریتم

The skeleton of  $A$  can be expressed in terms of erosions and openings. That is, it can be shown (Serra [1982]) that

$$S(A) = \bigcup_{k=0}^K S_k(A) \quad (9.5-11)$$

with

$$S_k(A) = (A \ominus kB) - (A \ominus kB) \circ B \quad (9.5-12)$$

where  $B$  is a structuring element, and  $(A \ominus kB)$  indicates  $k$  successive erosions of  $A$ :

$$(A \ominus kB) = (((\dots((A \ominus B) \ominus B) \ominus \dots) \ominus B) \quad (9.5-13)$$

$k$  times, and  $K$  is the last iterative step before  $A$  erodes to an empty set. In other words,

$$K = \max\{k | (A \ominus kB) \neq \emptyset\} \quad (9.5-14)$$

## استخراج اسکلتها

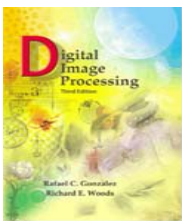
الگوریتم بازسازی مجموعه از روی زیرمجموعه‌های اسکلتی آن

The formulation given in Eqs. (9.5-11) and (9.5-12) states that  $S(A)$  can be obtained as the union of the *skeleton subsets*  $S_k(A)$ . Also, it can be shown that  $A$  can be *reconstructed* from these subsets by using the equation

$$A = \bigcup_{k=0}^K (S_k(A) \oplus kB) \quad (9.5-15)$$

where  $(S_k(A) \oplus kB)$  denotes  $k$  successive dilations of  $S_k(A)$ ; that is,

$$(S_k(A) \oplus kB) = ((\dots((S_k(A) \oplus B) \oplus B) \oplus \dots) \oplus B) \quad (9.5-16)$$



## Chapter 9

### Morphological Image Processing

$k \backslash$	$A \ominus kB$	$(A \ominus kB) \circ B$	$S_k(A)$	$\bigcup_{k=0}^K S_k(A)$	$S_k(A) \oplus kB$	$\bigcup_{k=0}^K S_k(A) \oplus kB$
0						
1						
2				$S(A)$ 		$A$ 

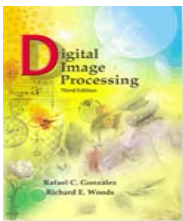
**FIGURE 9.24**  
Implementation of Eqs. (9.5-11) through (9.5-15). The original set is at the top left, and its morphological skeleton is at the bottom of the fourth column. The reconstructed set is at the bottom of the sixth column.



## استخراج اسکلتها

مثال

$k \backslash$	$A \ominus kB$	$(A \ominus kB) \circ B$	$S_k(A)$	$\bigcup_{k=0}^K S_k(A)$	$S_k(A) \oplus kB$	$\bigcup_{k=0}^K S_k(A) \oplus kB$
0						
1						
2						



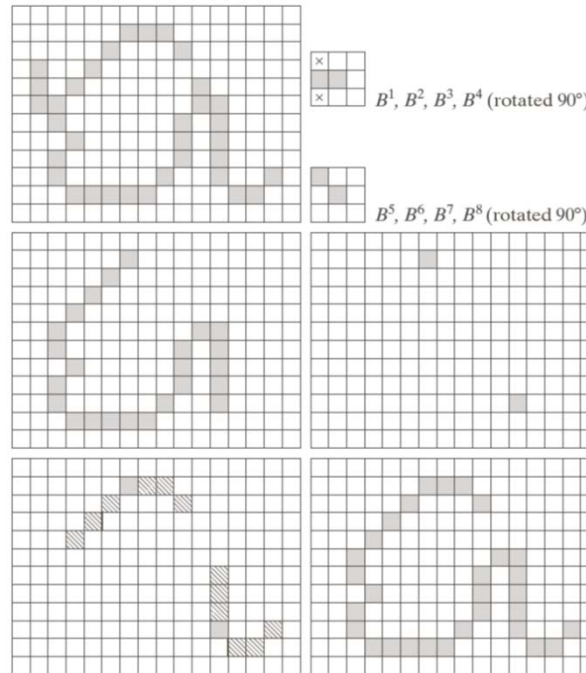
# Digital Image Processing, 3rd ed.

Gonzalez & Woods

www.ImageProcessingPlace.com

## Chapter 9

### Morphological Image Processing



a b  
c  
d e  
f g

**FIGURE 9.25**  
(a) Original image. (b) and (c) Structuring elements used for deleting end points. (d) Result of three cycles of thinning. (e) End points of (d). (f) Dilation of end points conditioned on (a). (g) Pruned image.

## هرس کردن

### PRUNING

هرس کردن: مکمل الگوریتم‌های نازک‌سازی و استخراج اسکلت است:  
این الگوریتم‌ها اجزای مزاحمی را در تصویر باقی می‌گذارند که باید با پس‌پردازش تمیز شوند.

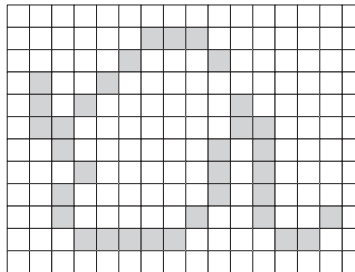


## هرس کردن

مثال

## PRUNING

(۱) تصویر اصلی

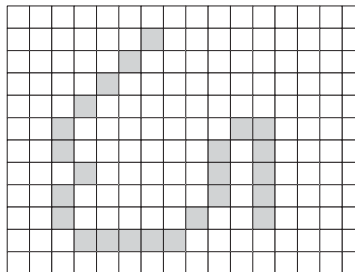

 $B^1, B^2, B^3, B^4 \text{ (rotated } 90^\circ)$ 

 (۲) المان‌های ساختاری  
برای حذف نقاط انتهایی  
end-points

 $B^5, B^6, B^7, B^8 \text{ (rotated } 90^\circ)$ 

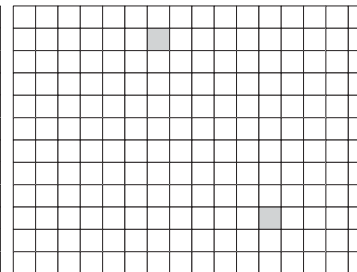
 (۳) نتیجه‌ی سه بار  
نازک‌سازی

$$X_1 = A \otimes \{B\}$$

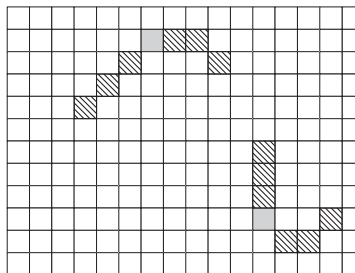


(۴) نقاط انتهایی (۳)

$$X_2 = \bigcup_{k=1}^8 (X_1 \otimes B^k)$$

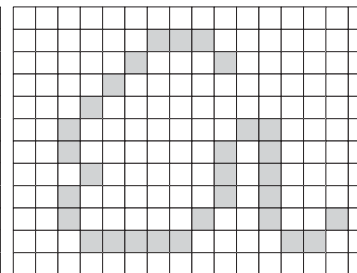

 (۵) گسترش نقاط پایانی با  
شرط (۱)

$$X_3 = (X_2 \oplus H) \cap A$$



(۶) تصویر هرس‌شده

$$X_4 = X_1 \cup X_3$$

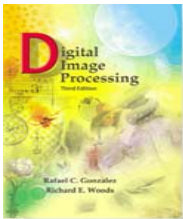


## بازسازی مورفولوژیکی

### MORPHOLOGICAL RECONSTRUCTION

بازسازی مورفولوژیکی: شامل دو تصویر و یک المان ساختاری است:

بازسازی مورفولوژیکی <i>Morphological Reconstruction</i>		
تصویر علامت‌گذار <i>Marker Image</i>	تصویر ماسک <i>Mask Image</i>	المان ساختاری <i>Structuring Element</i>
حاوی نقاط شروع برای تبدیل	ایجاد قید روی تبدیل	برای تعریف همبندی



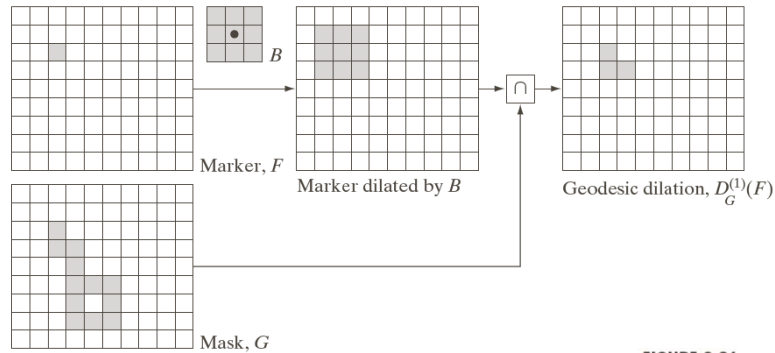
# Digital Image Processing, 3rd ed.

Gonzalez & Woods

www.ImageProcessingPlace.com

## Chapter 9

## Morphological Image Processing

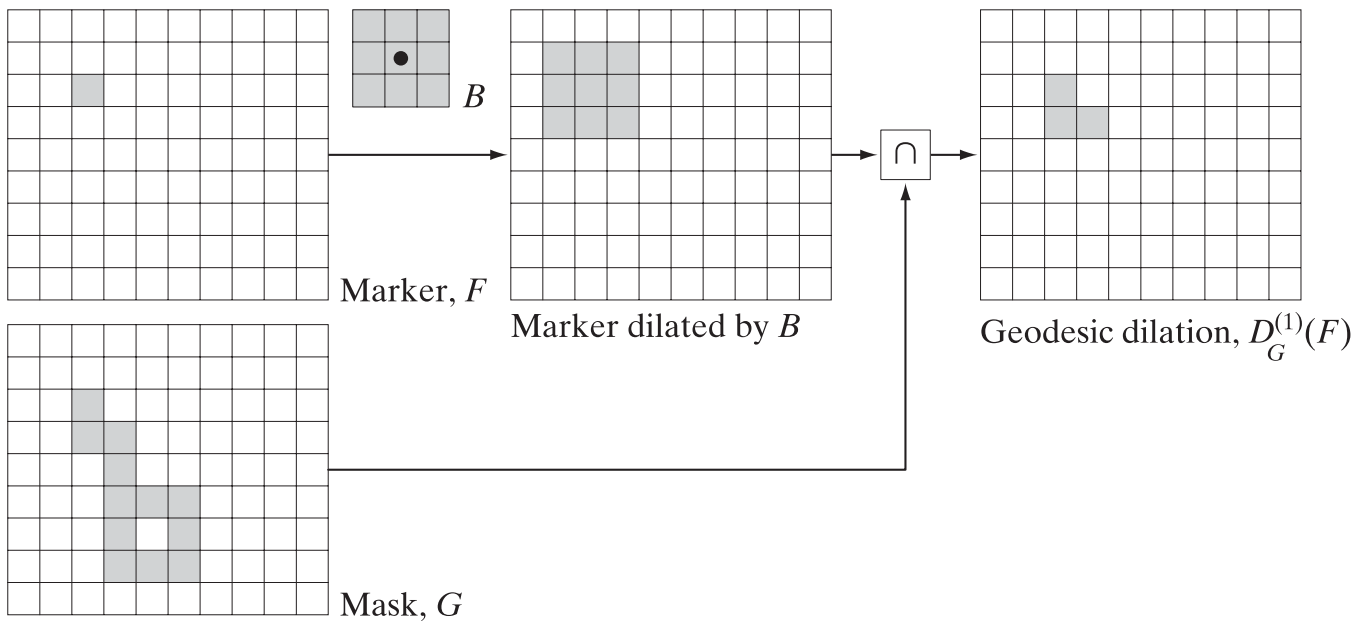


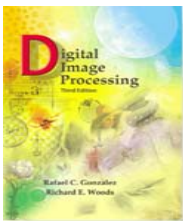
**FIGURE 9.26**  
Illustration of  
geodesic dilation.

# بازسازی مورفولوژیکی

گسترش ژئودزی: مثال

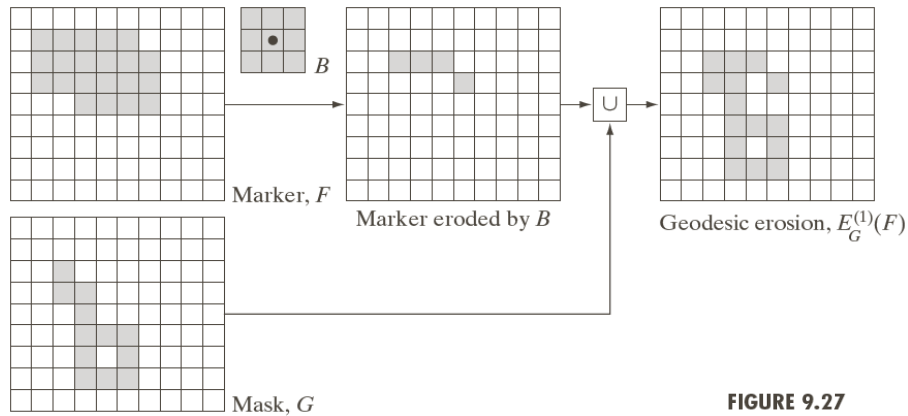
## GEODESIC DILATION





## Chapter 9

# Morphological Image Processing

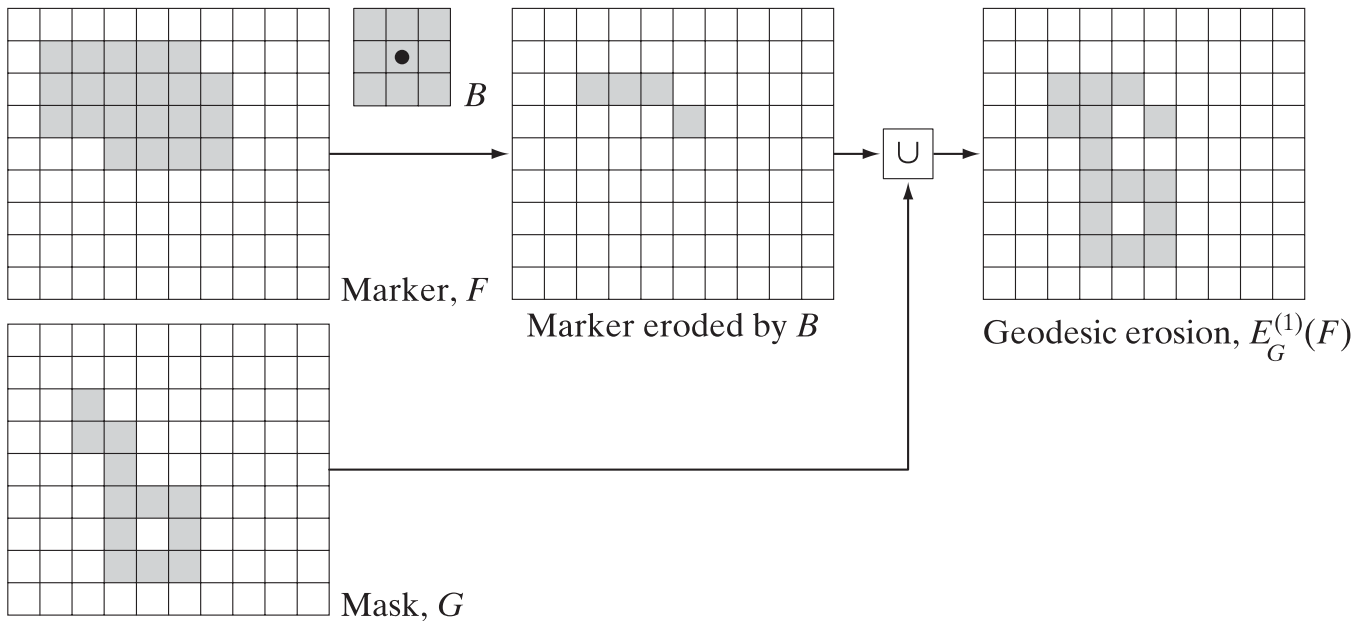


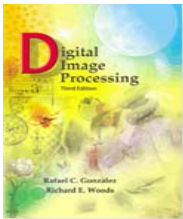
**FIGURE 9.27**  
Illustration of  
geodesic erosion.

# بازسازی مورفولوژیکی

فرسایش ژئودزی: مثال

## GEODESIC EROSION





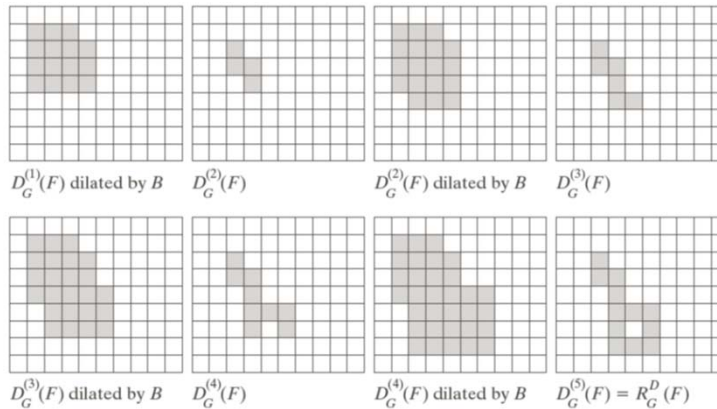
# Digital Image Processing, 3rd ed.

Gonzalez & Woods

www.ImageProcessingPlace.com

## Chapter 9

### Morphological Image Processing



a	b	c	d
e	f	g	h

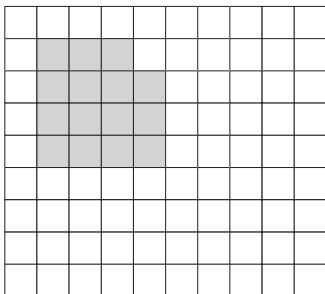
**FIGURE 9.28**

Illustration of morphological reconstruction by dilation.  $F$ ,  $G$ ,  $B$  and  $D_G^{(1)}(F)$  are from Fig. 9.26.

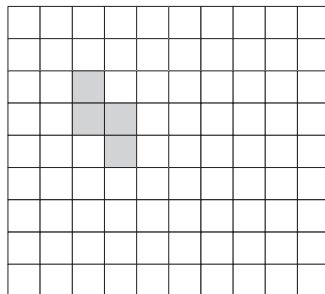
## بازسازی مورفولوژیکی

بازسازی مورفولوژیکی توسط گسترش

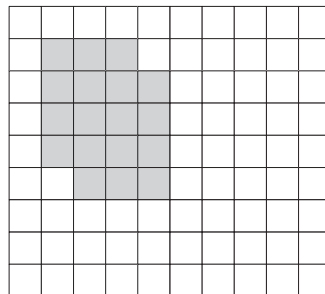
### MORPHOLOGICAL RECONSTRUCTION BY EROSION



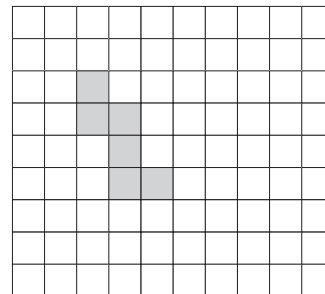
$D_G^{(1)}(F)$  dilated by  $B$



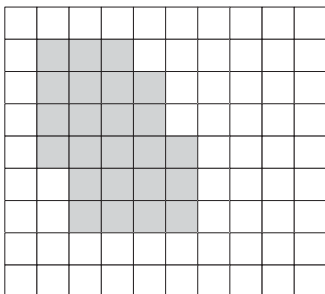
$D_G^{(2)}(F)$



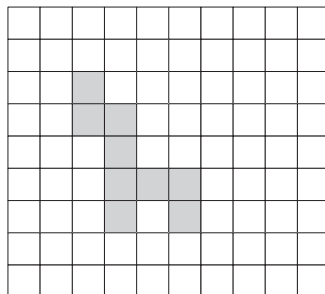
$D_G^{(2)}(F)$  dilated by  $B$



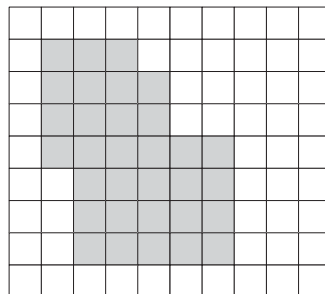
$D_G^{(3)}(F)$



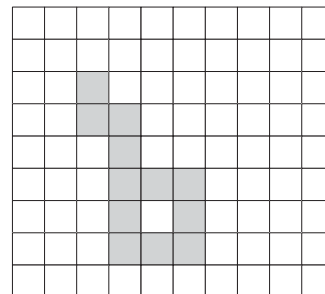
$D_G^{(3)}(F)$  dilated by  $B$



$D_G^{(4)}(F)$

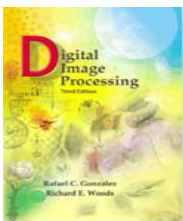


$D_G^{(4)}(F)$  dilated by  $B$



$D_G^{(5)}(F) = R_G^D(F)$





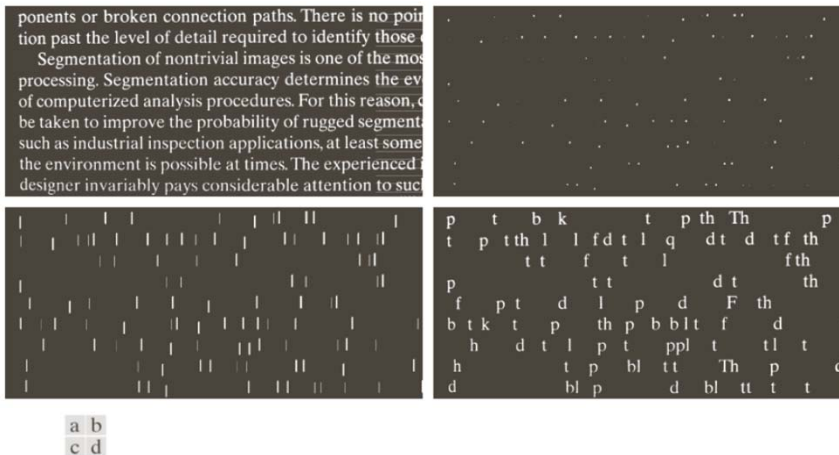
# Digital Image Processing, 3rd ed.

Gonzalez & Woods

www.ImageProcessingPlace.com

## Chapter 9

### Morphological Image Processing



**FIGURE 9.29** (a) Text image of size  $918 \times 2018$  pixels. The approximate average height of the tall characters is 50 pixels. (b) Erosion of (a) with a structuring element of size  $51 \times 1$  pixels. (c) Opening of (a) with the same structuring element, shown for reference. (d) Result of opening by reconstruction.

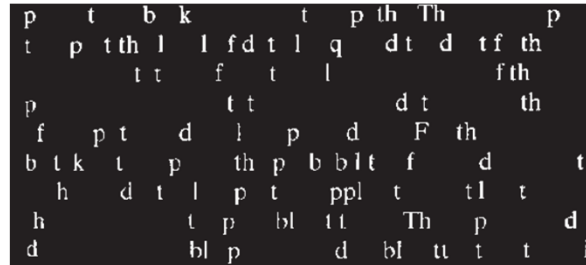
## بازسازی مورفولوژیکی

کاربرد: باز کردن از طریق بازسازی

### OPENING BY RECONSTRUCTION

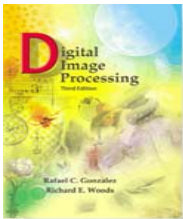
ponents or broken connection paths. There is no position past the level of detail required to identify those

Segmentation of nontrivial images is one of the most difficult tasks in image processing. Segmentation accuracy determines the effectiveness of computerized analysis procedures. For this reason, considerable effort can be taken to improve the probability of rugged segmentation. In some cases, such as industrial inspection applications, at least some degree of automation of the environment is possible at times. The experienced image designer invariably pays considerable attention to such



a b  
c d

**FIGURE** (a) Text image of size  $918 \times 2018$  pixels. The approximate average height of the tall characters is 50 pixels. (b) Erosion of (a) with a structuring element of size  $51 \times 1$  pixels. (c) Opening of (a) with the same structuring element, shown for reference. (d) Result of opening by reconstruction.



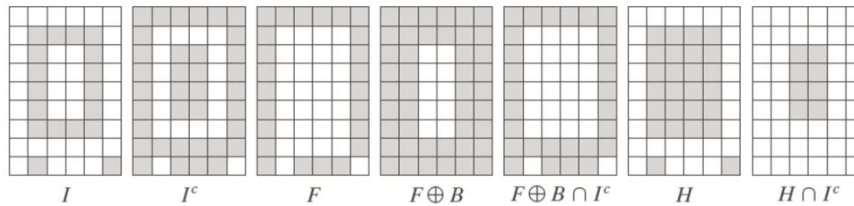
# Digital Image Processing, 3rd ed.

Gonzalez & Woods

www.ImageProcessingPlace.com

## Chapter 9

### Morphological Image Processing



a b c d e f g

**FIGURE 9.30**  
Illustration of  
hole filling on a  
simple image.

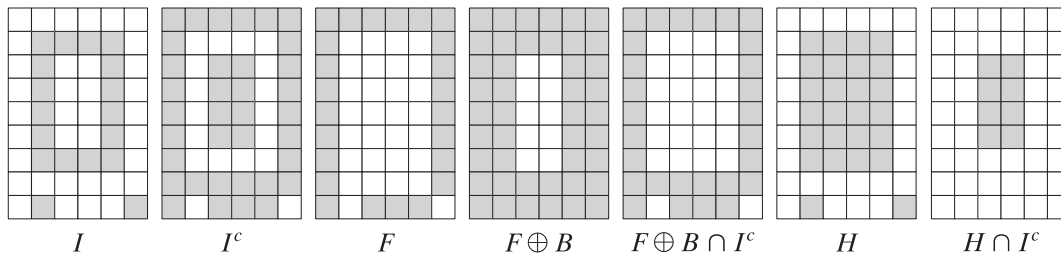
# بازسازی مورفولوژیکی

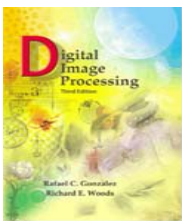
کاربرد: پر کردن حفره‌ها

## FILLING HOLES

a b c d e f g

Illustration of  
hole filling on a  
simple image.





# Digital Image Processing, 3rd ed.

Gonzalez & Woods

www.ImageProcessingPlace.com

## Chapter 9 Morphological Image Processing

ponents or broken connection paths. There is no position past the level of detail required to identify those components. Segmentation of nontrivial images is one of the most important steps in image processing. Segmentation accuracy determines the effectiveness of computerized analysis procedures. For this reason, considerable effort can be taken to improve the probability of rugged segmentation, such as industrial inspection applications, at least some of the time. The experienced designer invariably pays considerable attention to such



ponents or broken connection paths. There is no position past the level of detail required to identify those components. Segmentation of nontrivial images is one of the most important steps in image processing. Segmentation accuracy determines the effectiveness of computerized analysis procedures. For this reason, considerable effort can be taken to improve the probability of rugged segmentation, such as industrial inspection applications, at least some of the time. The experienced designer invariably pays considerable attention to such

ponents or broken connection paths. There is no position past the level of detail required to identify those components. Segmentation of nontrivial images is one of the most important steps in image processing. Segmentation accuracy determines the effectiveness of computerized analysis procedures. For this reason, considerable effort can be taken to improve the probability of rugged segmentation, such as industrial inspection applications, at least some of the time. The experienced designer invariably pays considerable attention to such

a b  
c d

**FIGURE 9.31**

(a) Text image of size  $918 \times 2018$  pixels. (b) Complement of (a) for use as a mask image. (c) Marker image. (d) Result of hole-filling using Eq. (9.5-29).

## بازسازی مورفولوژیکی

کاربرد: پر کردن حفره‌ها: مثال

### FILLING HOLES

ponents or broken connection paths. There is no position past the level of detail required to identify those

Segmentation of nontrivial images is one of the most important steps in image processing. Segmentation accuracy determines the effectiveness of computerized analysis procedures. For this reason, care must be taken to improve the probability of rugged segmentation. In applications such as industrial inspection applications, at least some degree of rugged segmentation is possible at times. The experienced designer invariably pays considerable attention to such

ponents or broken connection paths. There is no position past the level of detail required to identify those

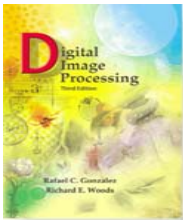
Segmentation of nontrivial images is one of the most important steps in image processing. Segmentation accuracy determines the effectiveness of computerized analysis procedures. For this reason, care must be taken to improve the probability of rugged segmentation. In applications such as industrial inspection applications, at least some degree of rugged segmentation is possible at times. The experienced designer invariably pays considerable attention to such

a	b
c	d

(a) Text image of size  $918 \times 2018$  pixels. (b) Complement of (a) for use as a mask image. (c) Marker image. (d) Result of hole-filling using Eq. (9.5-29).

$$F(x, y) = \begin{cases} 1 - I(x, y) & \text{if } (x, y) \text{ is on the border of } I \\ 0 & \text{otherwise} \end{cases} \quad (9.5-28)$$

$$H = [R_{I^c}^D(F)]^c \quad (9.5-29)$$



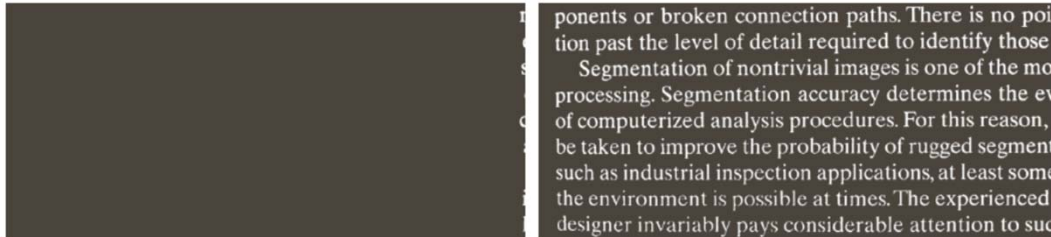
# *Digital Image Processing, 3rd ed.*

Gonzalez & Woods

www.ImageProcessingPlace.com

## Chapter 9

### Morphological Image Processing



a b

**FIGURE 9.32**

Border clearing.  
(a) Marker image.  
(b) Image with no  
objects touching  
the border. The  
original image is  
Fig. 9.29(a).

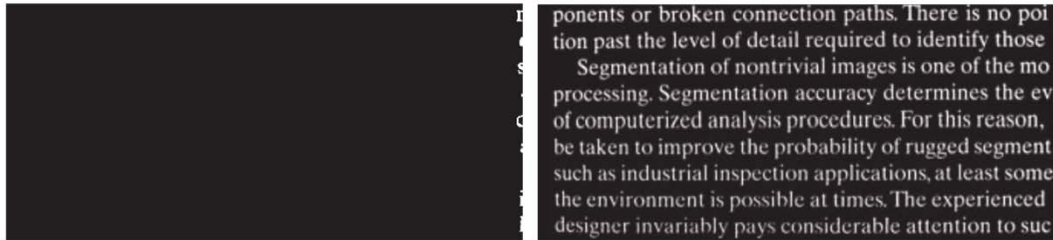
ponents or broken connection paths. There is no position past the level of detail required to identify those

Segmentation of nontrivial images is one of the most difficult tasks in image processing. Segmentation accuracy determines the evolution of computerized analysis procedures. For this reason, it must be taken to improve the probability of rugged segmentation, such as industrial inspection applications, at least some of the time. The experienced designer invariably pays considerable attention to such

## بازسازی مورفولوژیکی

کاربرد: پاک کردن کناره

### BORDER CLEARING



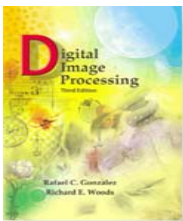
a b

Border clearing.  
(a) Marker image.  
(b) Image with no objects touching the border. The original image is Fig. 9.29(a).

$$F(x, y) = \begin{cases} I(x, y) & \text{if } (x, y) \text{ is on the border of } I \\ 0 & \text{otherwise} \end{cases} \quad (9.5-30)$$

$$X = I - R_I(F) \quad (9.5-31)$$





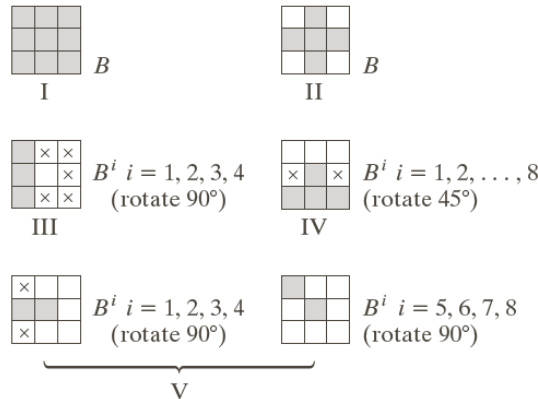
# Digital Image Processing, 3rd ed.

Gonzalez & Woods

www.ImageProcessingPlace.com

## Chapter 9

### Morphological Image Processing

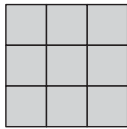


**FIGURE 9.33** Five basic types of structuring elements used for binary morphology. The origin of each element is at its center and the  $\times$ 's indicate "don't care" values.

# خلاصه‌ی عملیات مورفولوژیکی بر روی تصاویر دودویی

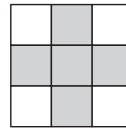
پنج نوع پایه‌ی المان ساختاری

## SUMMARY OF MORPHOLOGICAL OPERATIONS ON BINARY IMAGES



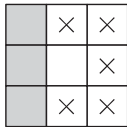
$B$

I



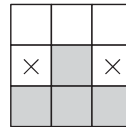
$B$

II



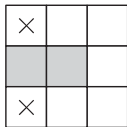
$B^i \ i = 1, 2, 3, 4$   
(rotate  $90^\circ$ )

III

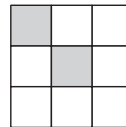


$B^i \ i = 1, 2, \dots, 8$   
(rotate  $45^\circ$ )

IV

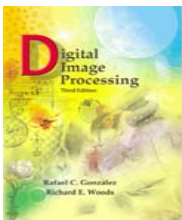


$B^i \ i = 1, 2, 3, 4$   
(rotate  $90^\circ$ )



$B^i \ i = 5, 6, 7, 8$   
(rotate  $90^\circ$ )

V



# Digital Image Processing, 3rd ed.

Gonzalez & Woods

www.ImageProcessingPlace.com

## Chapter 9

### Morphological Image Processing

Operation	Equation	Comments (The Roman numerals refer to the structuring elements in Fig. 9.33.)
Translation	$(B)_z = \{w   w = b + z, \text{ for } b \in B\}$	Translates the origin of $B$ to point $z$ .
Reflection	$\hat{B} = \{w   w = -b, \text{ for } b \in B\}$	Reflects all elements of $B$ about the origin of this set.
Complement	$A^c = \{w   w \notin A\}$	Set of points not in $A$ .
Difference	$A - B = \{w   w \in A, w \notin B\} = A \cap B^c$	Set of points that belong to $A$ but not to $B$ .
Dilation	$A \oplus B = \{z   (\hat{B}_z) \cap A \neq \emptyset\}$	“Expands” the boundary of $A$ . (I)
Erosion	$A \ominus B = \{z   (B)_z \subseteq A\}$	“Contracts” the boundary of $A$ . (I)
Opening	$A \circ B = (A \ominus B) \oplus B$	Smooths contours, breaks narrow isthmuses, and eliminates small islands and sharp peaks. (I)

(Continued)

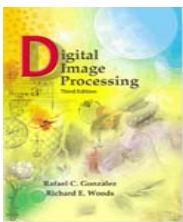
**TABLE 9.1**

Summary of morphological operations and their properties.

## خلاصه‌ی عملیات مورفولوژیکی بر روی تصاویر دودویی

Operation	Equation	Comments
		(The Roman numerals refer to the structuring elements in Fig. 9.33.)
Translation	$(B)_z = \{w   w = b + z, \text{ for } b \in B\}$	Translates the origin of $B$ to point $z$ .
Reflection	$\hat{B} = \{w   w = -b, \text{ for } b \in B\}$	Reflects all elements of $B$ about the origin of this set.
Complement	$A^c = \{w   w \notin A\}$	Set of points not in $A$ .
Difference	$A - B = \{w   w \in A, w \notin B\}$ $= A \cap B^c$	Set of points that belong to $A$ but not to $B$ .
Dilation	$A \oplus B = \{z   (\hat{B}_z) \cap A \neq \emptyset\}$	“Expands” the boundary of $A$ . (I)
Erosion	$A \ominus B = \{z   (B)_z \subseteq A\}$	“Contracts” the boundary of $A$ . (I)
Opening	$A \circ B = (A \ominus B) \oplus B$	Smooths contours, breaks narrow isthmuses, and eliminates small islands and sharp peaks. (I)

(Continued)



# Digital Image Processing, 3rd ed.

**TABLE 9.1**  
(Continued)

Operation	Equation	Comments (The Roman numerals refer to the structuring elements in Fig. 9.33.)
Closing	$A \bullet B = (A \oplus B) \ominus B$	Smooths contours, fuses narrow breaks and long thin gulfs, and eliminates small holes. (I)
Hit-or-miss transform	$A \otimes B = (A \ominus B_1) \cap (A^c \ominus B_2)$ $= (A \ominus B_1) - (A \oplus B_2)$	The set of points (coordinates) at which, simultaneously, $B_1$ found a match ("hit") in $A$ and $B_2$ found a match in $A^c$
Boundary extraction	$\beta(A) = A - (A \ominus B)$	Set of points on the boundary of set $A$ . (I)
Hole filling	$X_k = (X_{k-1} \oplus B) \cap A^c$ ; $k = 1, 2, 3, \dots$	Fills holes in $A$ ; $X_0$ = array of 0s with a 1 in each hole. (II)
Connected components	$X_k = (X_{k-1} \oplus B) \cap A$ ; $k = 1, 2, 3, \dots$	Finds connected components in $A$ ; $X_0$ = array of 0s with a 1 in each connected component. (I)
Convex hull	$X_k^i = (X_{k-1}^i \otimes B^i) \cup A$ ; $i = 1, 2, 3, 4$ ; $k = 1, 2, 3, \dots$ ; $X_0^i = A$ ; and $D^i = X_{\text{conv}}^i$	Finds the convex hull $C(A)$ of set $A$ , where "conv" indicates convergence in the sense that $X_k^i = X_{k-1}^i$ . (III)
Thinning	$A \otimes B = A - (A \otimes B)$ $= A \cap (A \otimes B)^c$ $A \otimes \{B\} = ((\dots((A \otimes B^1) \otimes B^2) \dots) \otimes B^n)$ $\{B\} = \{B^1, B^2, B^3, \dots, B^n\}$	Thins set $A$ . The first two equations give the basic definition of thinning. The last equations denote thinning by a sequence of structuring elements. This method is normally used in practice. (IV)
Thickening	$A \odot B = A \cup (A \otimes B)$ $A \odot \{B\} = ((\dots(A \otimes B^1) \odot B^2 \dots) \odot B^n)$	Thickens set $A$ . (See preceding comments on sequences of structuring elements.) Uses IV with 0s and 1s reversed.
Skeletons	$S(A) = \bigcup_{k=0}^K S_k(A)$ $S_k(A) = \bigcup_{k=0}^K \{(A \ominus kB) - [(A \ominus kB) \odot B]\}$ Reconstruction of $A$ : $A = \bigcup_{k=0}^K (S_k(A) \oplus kB)$	Finds the skeleton $S(A)$ of set $A$ . The last equation indicates that $A$ can be reconstructed from its skeleton subsets $S_k(A)$ . In all three equations, $K$ is the value of the iterative step after which the set $A$ erodes to the empty set. The notation $(A \ominus kB)$ denotes the $k$ th iteration of successive erosions of $A$ by $B$ . (I)

(Continued)

## خلاصه‌ی عملیات مورفولوژیکی بر روی تصاویر دودویی

Closing	$A \bullet B = (A \oplus B) \ominus B$	Smoothes contours, fuses narrow breaks and long thin gulfs, and eliminates small holes. (I)
Hit-or-miss transform	$A \circledast B = (A \ominus B_1) \cap (A^c \ominus B_2)$ $= (A \ominus B_1) - (A \oplus \hat{B}_2)$	The set of points (coordinates) at which, simultaneously, $B_1$ found a match (“hit”) in $A$ and $B_2$ found a match in $A^c$
Boundary extraction	$\beta(A) = A - (A \ominus B)$	Set of points on the boundary of set $A$ . (I)
Hole filling	$X_k = (X_{k-1} \oplus B) \cap A^c;$ $k = 1, 2, 3, \dots$	Fills holes in $A$ ; $X_0$ = array of 0s with a 1 in each hole. (II)
Connected components	$X_k = (X_{k-1} \oplus B) \cap A;$ $k = 1, 2, 3, \dots$	Finds connected components in $A$ ; $X_0$ = array of 0s with a 1 in each connected component. (I)
Convex hull	$X_k^i = (X_{k-1}^i \circledast B^i) \cup A;$ $i = 1, 2, 3, 4;$ $k = 1, 2, 3, \dots;$ $X_0^i = A;$ and $D^i = X_{\text{conv}}^i$	Finds the convex hull $C(A)$ of set $A$ , where “conv” indicates convergence in the sense that $X_k^i = X_{k-1}^i$ . (III)

## خلاصه‌ی عملیات مورفولوژیکی بر روی تصاویر دودویی

Thinning

$$\begin{aligned} A \otimes B &= A - (A \circledast B) \\ &= A \cap (A \circledast B)^c \\ A \otimes \{B\} &= \\ ((\dots((A \otimes B^1) \otimes B^2) \dots) \otimes B^n) \\ \{B\} &= \{B^1, B^2, B^3, \dots, B^n\} \end{aligned}$$

Thins set  $A$ . The first two equations give the basic definition of thinning. The last equations denote thinning by a sequence of structuring elements. This method is normally used in practice. (IV)

Thickening

$$\begin{aligned} A \odot B &= A \cup (A \circledast B) \\ A \odot \{B\} &= \\ ((\dots(A \odot B^1) \odot B^2 \dots) \odot B^n) \end{aligned}$$

Thickens set  $A$ . (See preceding comments on sequences of structuring elements.) Uses IV with 0s and 1s reversed.

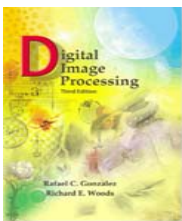
Skeletons

$$\begin{aligned} S(A) &= \bigcup_{k=0}^K S_k(A) \\ S_k(A) &= \bigcup_{k=0}^K \{(A \ominus kB) \\ &\quad - [(A \ominus kB) \circ B]\} \end{aligned}$$

Reconstruction of  $A$ :

$$A = \bigcup_{k=0}^K (S_k(A) \oplus kB)$$

Finds the skeleton  $S(A)$  of set  $A$ . The last equation indicates that  $A$  can be reconstructed from its skeleton subsets  $S_k(A)$ . In all three equations,  $K$  is the value of the iterative step after which the set  $A$  erodes to the empty set. The notation  $(A \ominus kB)$  denotes the  $k$ th iteration of successive erosions of  $A$  by  $B$ . (I)



# Digital Image Processing, 3rd ed.

Operation	Equation	Comments (The Roman numerals refer to the structuring elements in Fig. 9.33.)
Pruning	$X_1 = A \otimes \{B\}$ $X_2 = \bigcup_{k=1}^8 (X_1 \otimes B^k)$ $X_3 = (X_2 \oplus H) \cap A$ $X_4 = X_1 \cup X_3$	$X_4$ is the result of pruning set $A$ . The number of times that the first equation is applied to obtain $X_1$ must be specified. Structuring elements $V$ are used for the first two equations. In the third equation $H$ denotes structuring element $I$ .
Geodesic dilation of size 1	$D_G^{(1)}(F) = (F \oplus B) \cap G$	$F$ and $G$ are called the <i>marker</i> and <i>mask</i> images, respectively.
Geodesic dilation of size $n$	$D_G^{(n)}(F) = D_G^{(1)}[D_G^{(n-1)}(F)];$ $D_G^{(0)}(F) = F$	
Geodesic erosion of size 1	$E_G^{(1)}(F) = (F \ominus B) \cup G$	
Geodesic erosion of size $n$	$E_G^{(n)}(F) = E_G^{(1)}[E_G^{(n-1)}(F)];$ $E_G^{(0)}(F) = F$	
Morphological reconstruction by dilation	$R_G^D(F) = D_G^{(k)}(F)$	$k$ is such that $D_G^{(k)}(F) = D_G^{(k+1)}(F)$
Morphological reconstruction by erosion	$R_G^E(F) = E_G^{(k)}(F)$	$k$ is such that $E_G^{(k)}(F) = E_G^{(k+1)}(F)$
Opening by reconstruction	$O_R^{(n)}(F) = R_F^D[(F \ominus nB)]$	$(F \ominus nB)$ indicates $n$ erosions of $F$ by $B$ .
Closing by reconstruction	$C_R^{(n)}(F) = R_F^E[(F \oplus nB)]$	$(F \oplus nB)$ indicates $n$ dilations of $F$ by $B$ .
Hole filling	$H = [R_F^D(F)]^c$	$H$ is equal to the input image $I$ , but with all holes filled. See Eq. (9.5-28) for the definition of the marker image $F$ .
Border clearing	$X = I - R_F^D(F)$	$X$ is equal to the input image $I$ , but with all objects that touch (are connected to) the boundary removed. See Eq. (9.5-30) for the definition of the marker image $F$ .

**TABLE 9.1**  
(Continued)



## خلاصه‌ی عملیات مورفولوژیکی بر روی تصاویر دودویی

Pruning

$$X_1 = A \otimes \{B\}$$

$$X_2 = \bigcup_{k=1}^8 (X_1 \circledast B^k)$$

$$X_3 = (X_2 \oplus H) \cap A$$

$$X_4 = X_1 \cup X_3$$

$X_4$  is the result of pruning set  $A$ .

The number of times that the first equation is applied to obtain  $X_1$  must be specified.

Structuring elements  $V$  are used for the first two equations. In the third equation  $H$  denotes structuring element  $I$ .

## خلاصه‌ی عملیات مورفولوژیکی بر روی تصاویر دودویی

Geodesic  
dilation of  
size 1

$$D_G(F) = (F \oplus B) \cap G$$

$F$  and  $G$  are called the *marker*  
and *mask* images, respectively.

Geodesic  
dilation of  
size  $n$

$$D_G^{(n)}(F) = D_G^{(1)}[D_G^{(n-1)}(F)];$$

$$D_G^{(0)}(F) = F$$

Geodesic  
erosion of  
size 1

$$E_G^{(1)}(F) = (F \ominus B) \cup G$$

Geodesic  
erosion of  
size  $n$

$$E_G^{(n)}(F) = E_G^{(1)}[E_G^{(n-1)}(F)];$$

$$E_G^{(0)}(F) = F$$

Morphological  
reconstruction  
by dilation

$$R_G^D(F) = D_G^{(k)}(F)$$

$k$  is such that

$$D_G^{(k)}(F) = D_G^{(k+1)}(F)$$

Morphological  
reconstruction  
by erosion

$$R_G^E(F) = E_G^{(k)}(F)$$

$k$  is such that

$$E_G^{(k)}(F) = E_G^{(k+1)}(F)$$

## خلاصه‌ی عملیات مورفولوژیکی بر روی تصاویر دودویی

Opening by reconstruction  $O_R^{(n)}(F) = R_F^D[(F \ominus nB)]$

$(F \ominus nB)$  indicates  $n$  erosions of  $F$  by  $B$ .

Closing by reconstruction  $C_R^{(n)}(F) = R_F^E[(F \oplus nB)]$

$(F \oplus nB)$  indicates  $n$  dilations of  $F$  by  $B$ .

Hole filling  $H = [R_I^D(F)]^c$

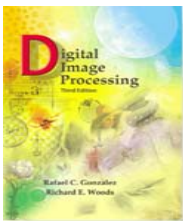
$H$  is equal to the input image  $I$ , but with all holes filled. See Eq. (9.5-28) for the definition of the marker image  $F$ .

Border clearing  $X = I - R_I^D(F)$

$X$  is equal to the input image  $I$ , but with all objects that touch (are connected to) the boundary removed. See Eq. (9.5-30) for the definition of the marker image  $F$ .

۶

مورفولوژی  
سطح  
خاکستری

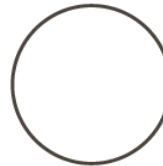


## Chapter 9

# Morphological Image Processing



Nonflat SE



Flat SE



Intensity profile



Intensity profile

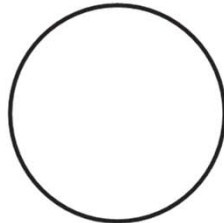
a b  
c d

**FIGURE 9.34**  
Nonflat and flat structuring elements, and corresponding horizontal intensity profiles through their center. All examples in this section are based on flat SEs.

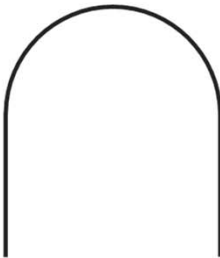
## مورفولوژی سطح خاکستری

GRAY-SCALE MORPHOLOGY

Nonflat SE



Flat SE



Intensity profile



Intensity profile

a	b
c	d

Nonflat and flat structuring elements, and corresponding horizontal intensity profiles through their center. All examples in this section are based on flat SEs.

## مورفولوژی سطح خاکستری

مثال

GRAY-SCALE MORPHOLOGY

a	b
c	

(a) Original image. (b) Result of dilation.

(c) Result of erosion.

$$[f \oplus b](x, y) = \max_{(s, t) \in b} \{f(x - s, y - t)\}$$



$$[f \ominus b](x, y) = \min_{(s, t) \in b} \{f(x + s, y + t)\}$$

# مورفولوژی سطح خاکستری

مثال

## GRAY-SCALE MORPHOLOGY



a b

(a) Opening and (b) closing

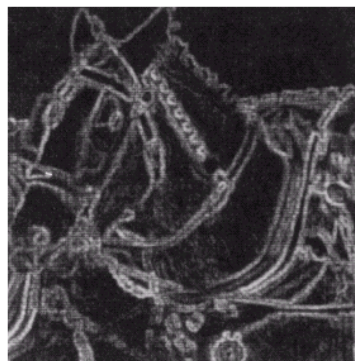


## مورفولوژی سطح خاکستری

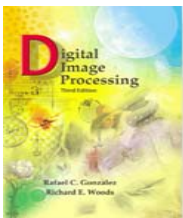
مثال

GRAY-SCALE MORPHOLOGY

Morphological Smoothing



Morphological Gradients



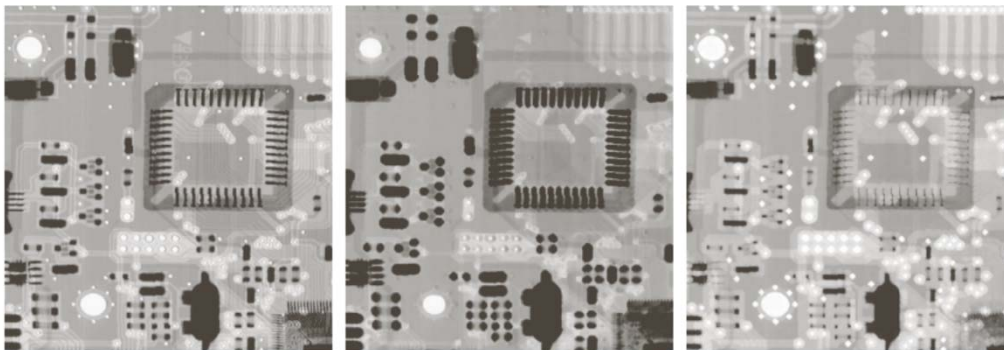
# *Digital Image Processing, 3rd ed.*

Gonzalez & Woods

www.ImageProcessingPlace.com

## Chapter 9

### Morphological Image Processing

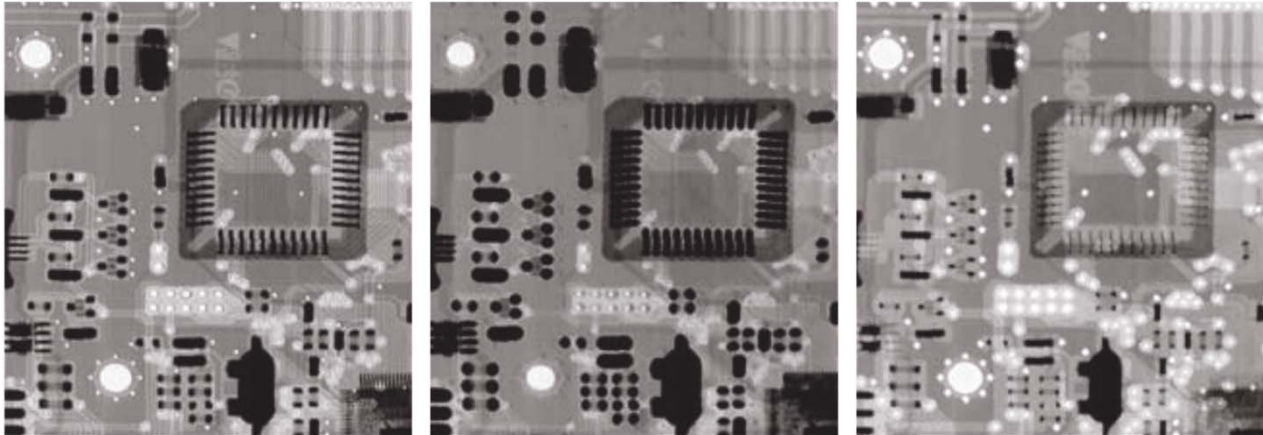


a b c

**FIGURE 9.35** (a) A gray-scale X-ray image of size  $448 \times 425$  pixels. (b) Erosion using a flat disk SE with a radius of two pixels. (c) Dilation using the same SE. (Original image courtesy of Lixi, Inc.)

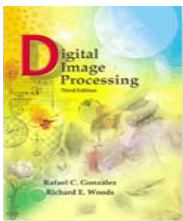
## مورفولوژی سطح خاکستری

مثال

GRAY-SCALE MORPHOLOGY

a b c

**FIGURE** (a) A gray-scale X-ray image of size  $448 \times 425$  pixels. (b) Erosion using a flat disk SE with a radius of two pixels. (c) Dilation using the same SE. (Original image



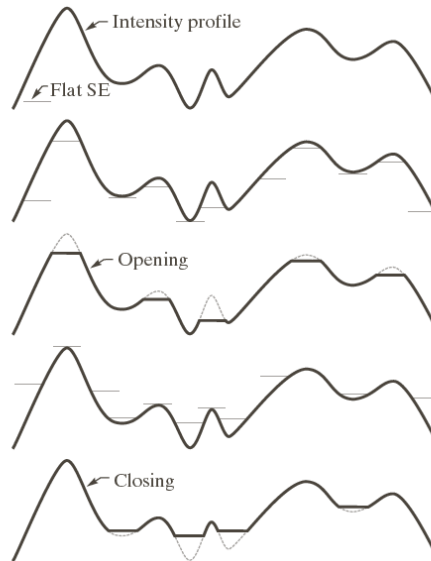
# Digital Image Processing, 3rd ed.

Gonzalez & Woods

www.ImageProcessingPlace.com

## Chapter 9

### Morphological Image Processing



a  
b  
c  
d  
e

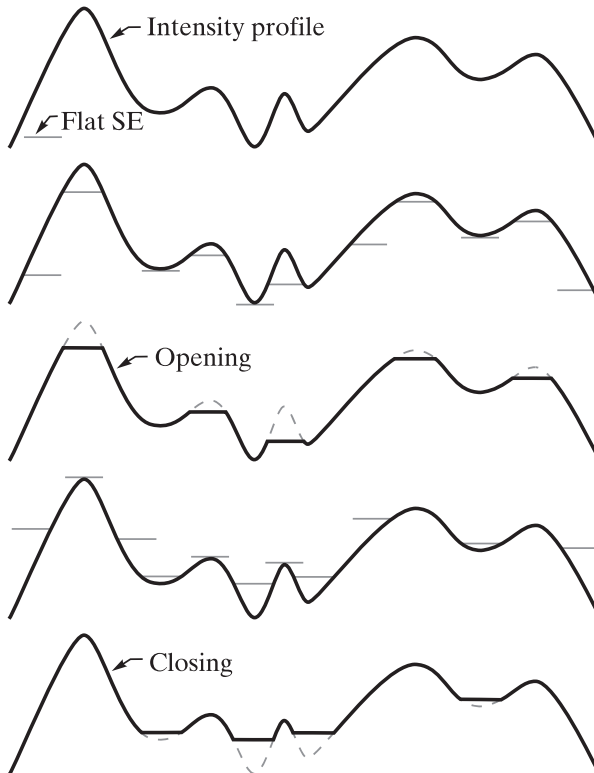
**FIGURE 9.36**

Opening and closing in one dimension. (a) Original 1-D signal. (b) Flat structuring element pushed up underneath the signal.

(c) Opening. (d) Flat structuring element pushed down along the top of the signal. (e) Closing.

## مورفولوژی سطح خاکستری

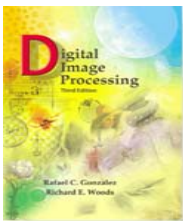
مثال

GRAY-SCALE MORPHOLOGY

a  
b  
c  
d  
e

Opening and closing in one dimension. (a) Original 1-D signal. (b) Flat structuring element pushed up underneath the signal.

(c) Opening. (d) Flat structuring element pushed down along the top of the signal. (e) Closing.



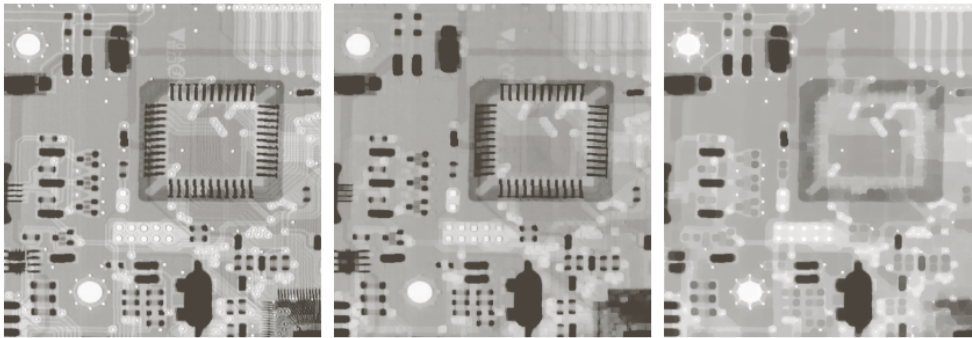
# *Digital Image Processing, 3rd ed.*

Gonzalez & Woods

[www.ImageProcessingPlace.com](http://www.ImageProcessingPlace.com)

## Chapter 9

### Morphological Image Processing

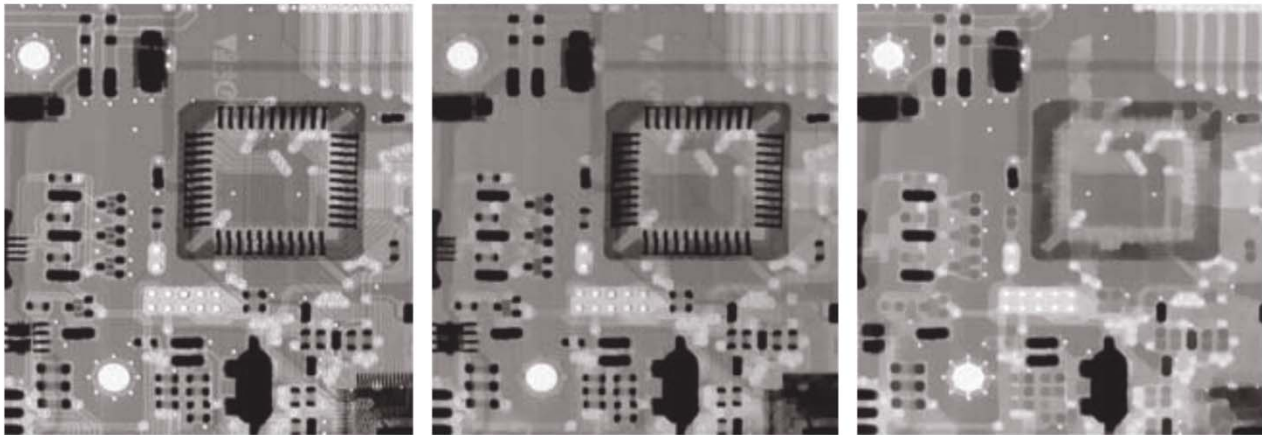


a b c

**FIGURE 9.37** (a) A gray-scale X-ray image of size  $448 \times 425$  pixels. (b) Opening using a disk SE with a radius of 3 pixels. (c) Closing using an SE of radius 5.

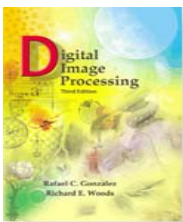
## مورفولوژی سطح خاکستری

مثال

GRAY-SCALE MORPHOLOGY

a b c

**FIGURE** (a) A gray-scale X-ray image of size  $448 \times 425$  pixels. (b) Opening using a disk SE with a radius of 3 pixels. (c) Closing using an SE of radius 5.



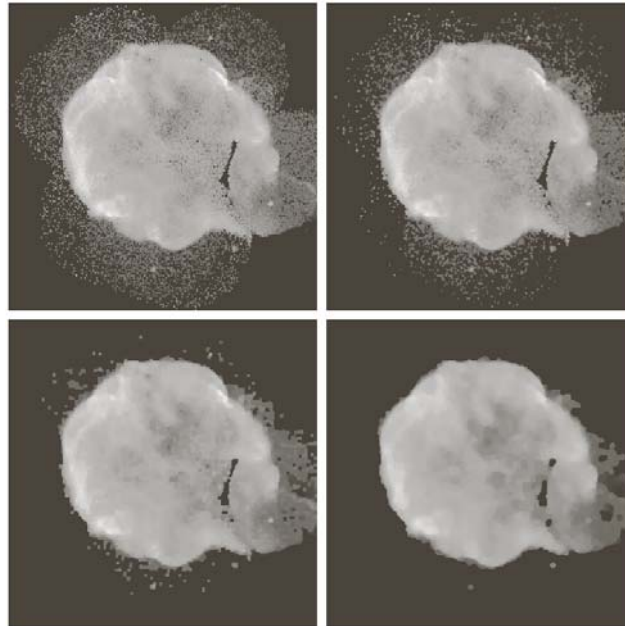
# Digital Image Processing, 3rd ed.

Gonzalez & Woods

www.ImageProcessingPlace.com

## Chapter 9

### Morphological Image Processing



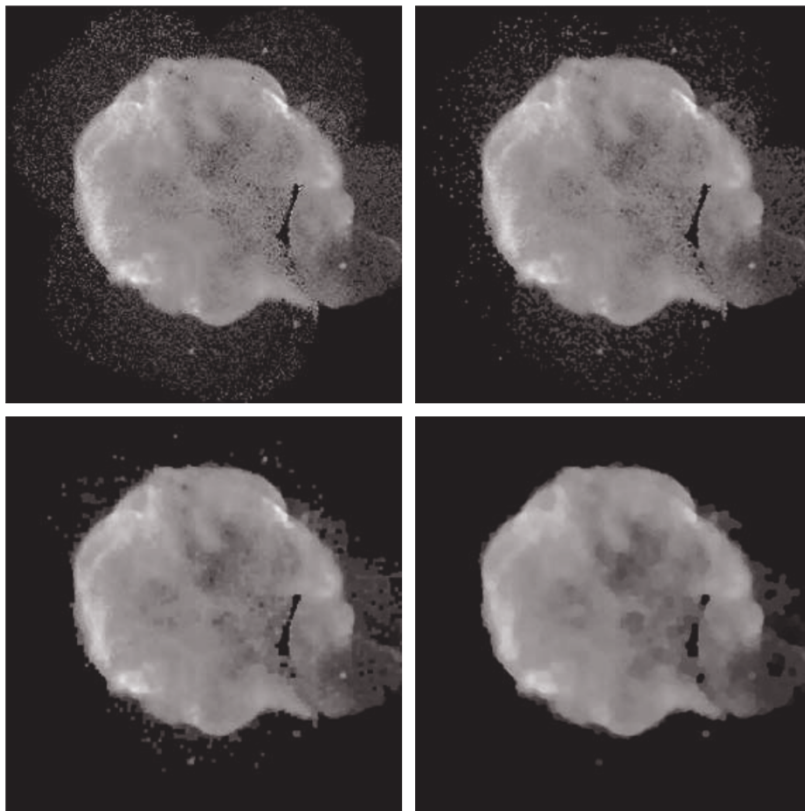
a	b
c	d

**FIGURE 9.38**  
(a)  $566 \times 566$  image of the Cygnus Loop supernova, taken in the X-ray band by NASA's Hubble Telescope. (b)–(d) Results of performing opening and closing sequences on the original image with disk structuring elements of radii, 1, 3, and 5, respectively. (Original image courtesy of NASA.)



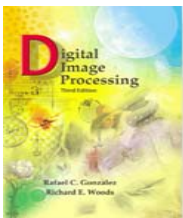
## مورفولوژی سطح خاکستری

مثال

GRAY-SCALE MORPHOLOGY

a	b
c	d

(a)  $566 \times 566$  image of the Cygnus Loop supernova, taken in the X-ray band by NASA's Hubble Telescope. (b)–(d) Results of performing opening and closing sequences on the original image with disk structuring elements of radii, 1, 3, and 5, respectively.



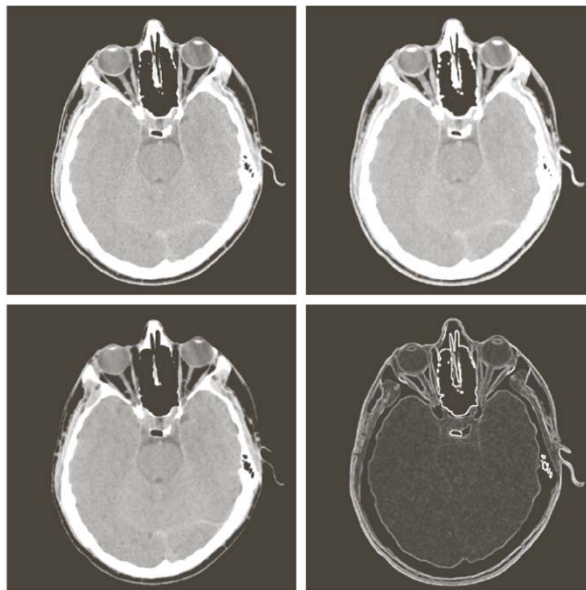
# Digital Image Processing, 3rd ed.

Gonzalez & Woods

www.ImageProcessingPlace.com

## Chapter 9

### Morphological Image Processing



a b  
c d

**FIGURE 9.39**

(a)  $512 \times 512$  image of a head CT scan.  
(b) Dilation.  
(c) Erosion.  
(d) Morphological gradient, computed as the difference between (b) and (c).  
(Original image courtesy of Dr. David R. Pickens, Vanderbilt University.)

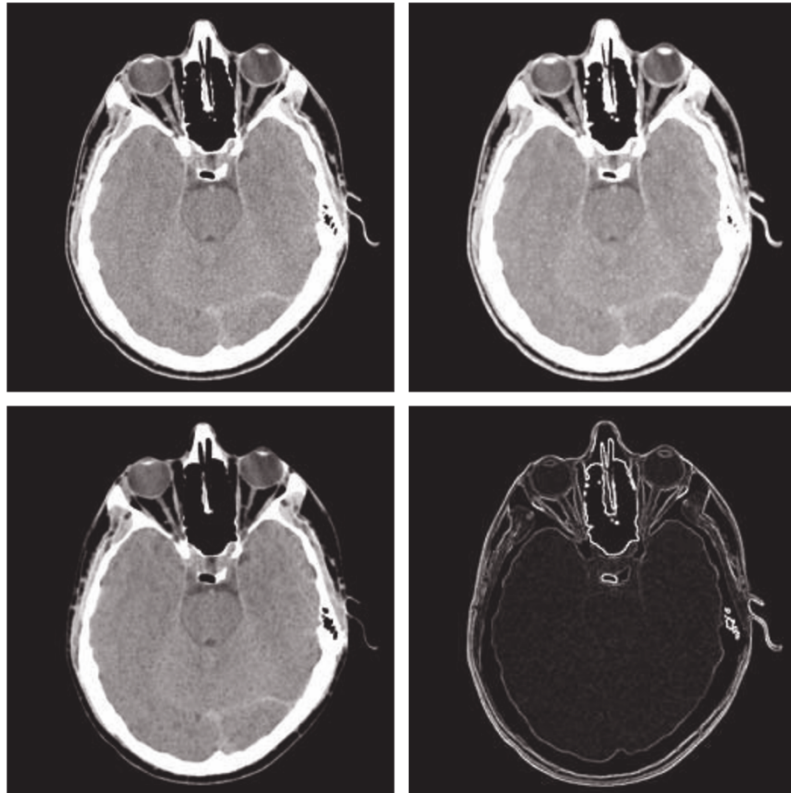
## مورفولوژی سطح خاکستری

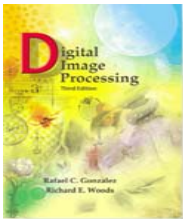
مثال

GRAY-SCALE MORPHOLOGY

a	b
c	d

- (a)  $512 \times 512$  image of a head CT scan.  
 (b) Dilation.  
 (c) Erosion.  
 (d) Morphological gradient, computed as the difference between (b) and (c).





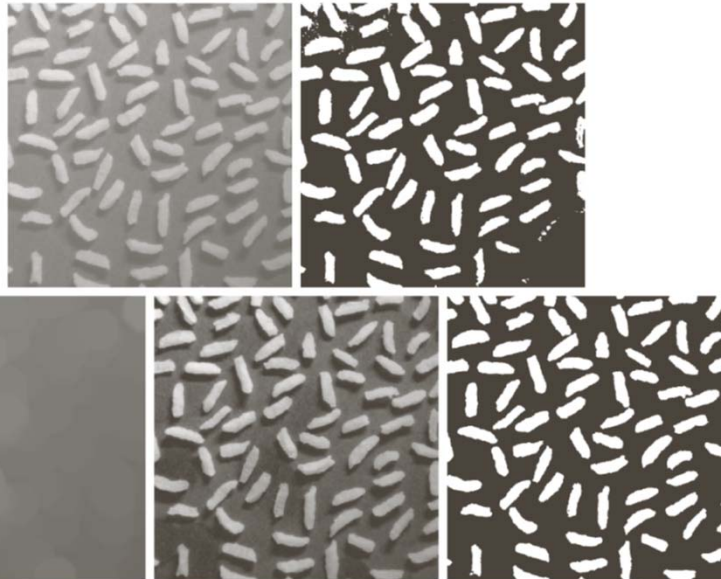
# Digital Image Processing, 3rd ed.

Gonzalez & Woods

[www.ImageProcessingPlace.com](http://www.ImageProcessingPlace.com)

## Chapter 9

### Morphological Image Processing



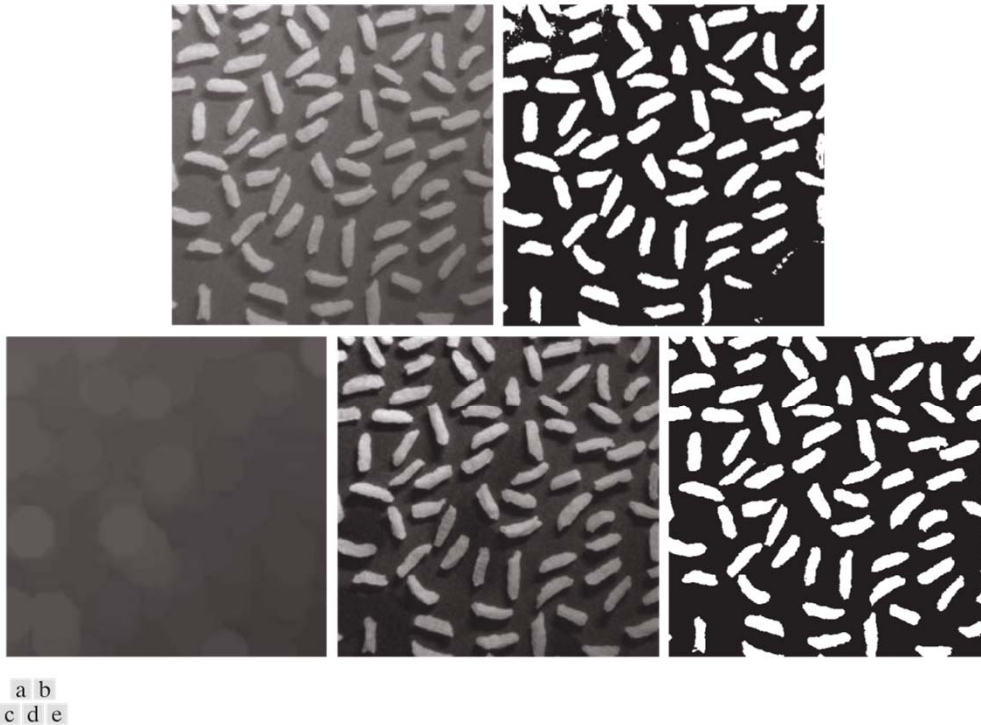
a b  
c d e

**FIGURE 9.40** Using the top-hat transformation for *shading correction*. (a) Original image of size  $600 \times 600$  pixels. (b) Thresholded image. (c) Image opened using a disk SE of radius 40. (d) Top-hat transformation (the image minus its opening). (e) Thresholded top-hat image.

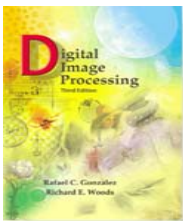
## مورفولوژی سطح خاکستری

مثال

### GRAY-SCALE MORPHOLOGY

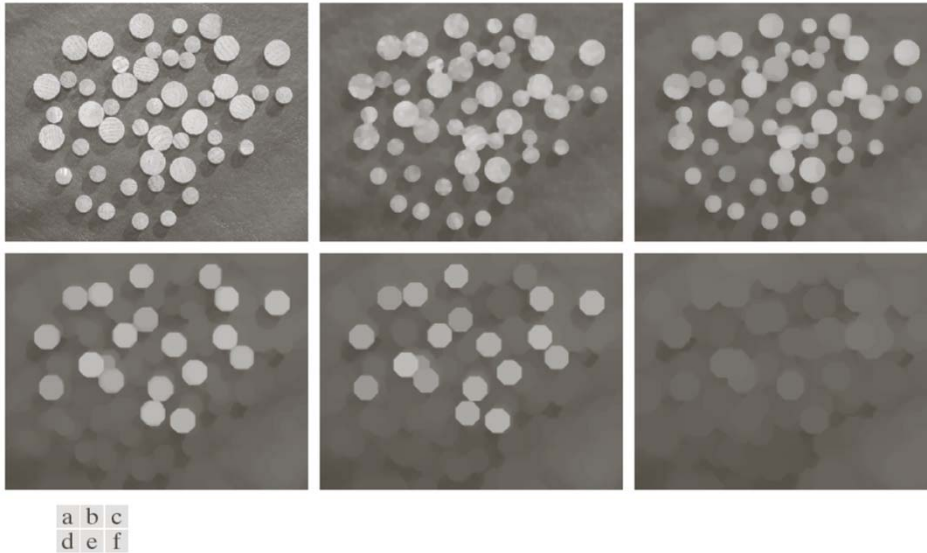


Using the top-hat transformation for *shading correction*. (a) Original image of size  $600 \times 600$  pixels. (b) Thresholded image. (c) Image opened using a disk SE of radius 40. (d) Top-hat transformation (the image minus its opening). (e) Thresholded top-hat image.



## Chapter 9

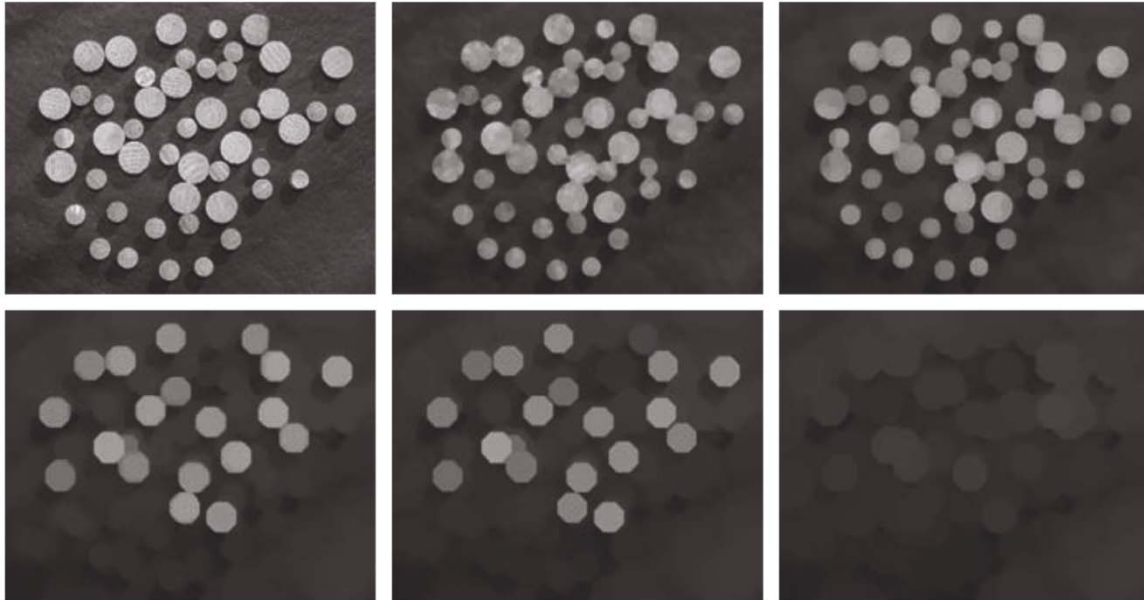
# Morphological Image Processing



**FIGURE 9.41** (a)  $531 \times 675$  image of wood dowels. (b) Smoothed image. (c)–(f) Openings of (b) with disks of radii equal to 10, 20, 25, and 30 pixels, respectively. (Original image courtesy of Dr. Steve Eddins, The MathWorks, Inc.)

## مورفولوژی سطح خاکستری

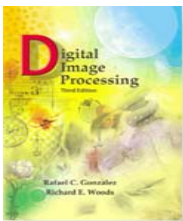
مثال

GRAY-SCALE MORPHOLOGY

a	b	c
d	e	f

(a)  $531 \times 675$  image of wood dowels. (b) Smoothed image. (c)–(f) Openings of (b) with disks of radii equal to 10, 20, 25, and 30 pixels, respectively.





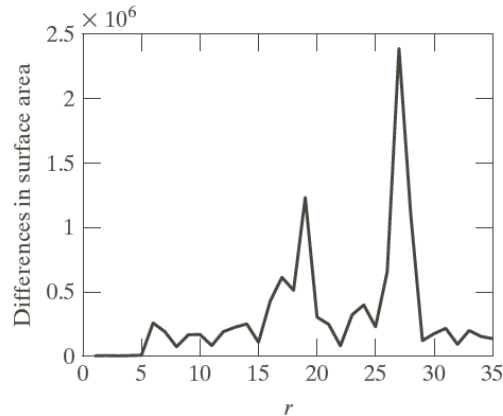
# Digital Image Processing, 3rd ed.

Gonzalez & Woods

www.ImageProcessingPlace.com

## Chapter 9

### Morphological Image Processing

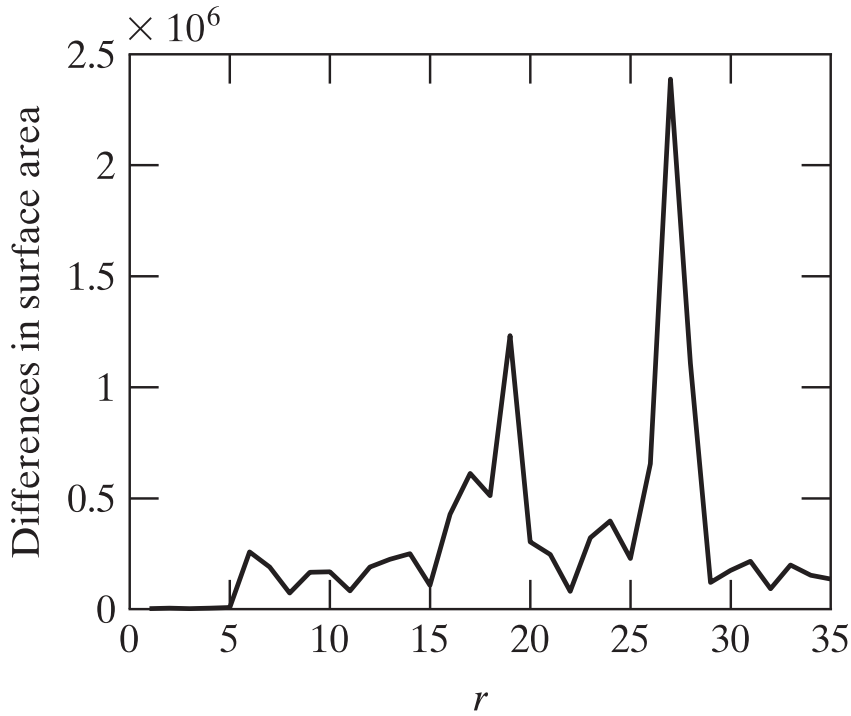


**FIGURE 9.42**  
Differences in surface area as a function of SE disk radius,  $r$ . The two peaks are indicative of two dominant particle sizes in the image.

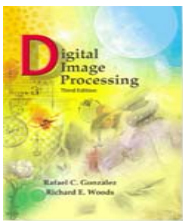


## مورفولوژی سطح خاکستری

مثال

GRAY-SCALE MORPHOLOGY

Differences in surface area as a function of SE disk radius,  $r$ . The two peaks are indicative of two dominant particle sizes in the image.



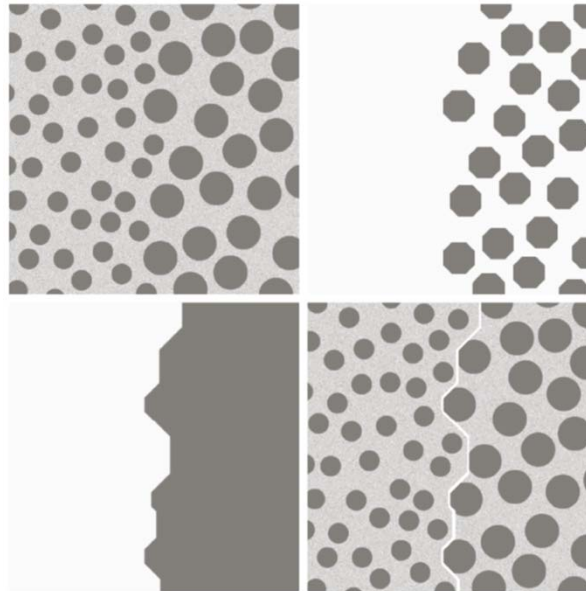
# Digital Image Processing, 3rd ed.

Gonzalez & Woods

www.ImageProcessingPlace.com

## Chapter 9

### Morphological Image Processing



a b  
c d

**FIGURE 9.43**

Textural

segmentation.

(a) A  $600 \times 600$  image consisting of two types of blobs. (b) Image with small blobs removed by closing (a).

(c) Image with light patches between large blobs removed by opening (b).

(d) Original image with boundary between the two regions in (c) superimposed. The boundary was obtained using a morphological gradient operation.

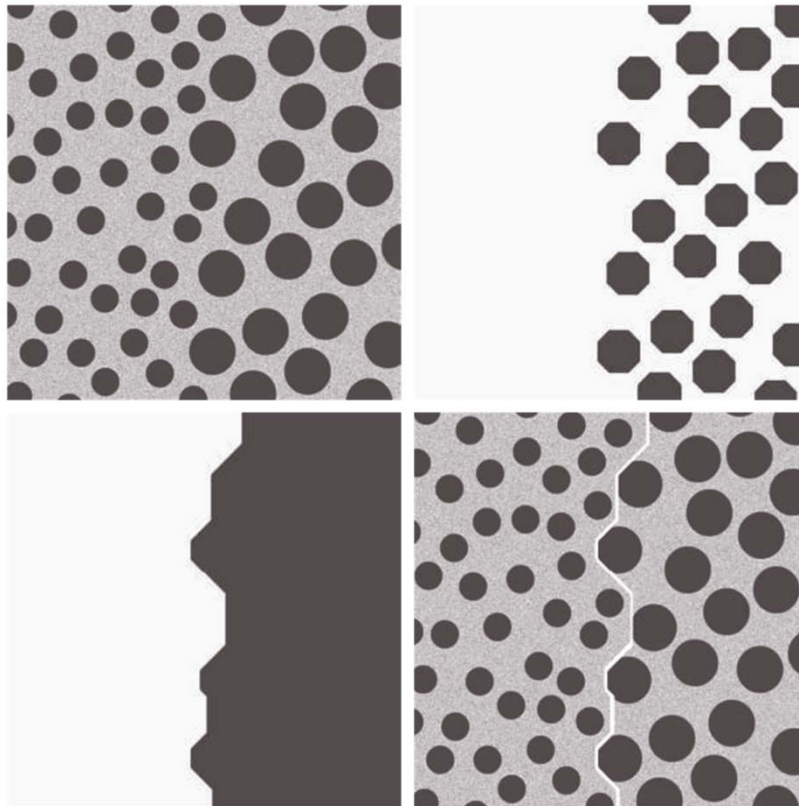
# مورفولوژی سطح خاکستری

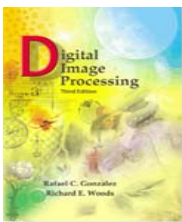
مثال

## GRAY-SCALE MORPHOLOGY

a b  
c d

Textural segmentation.  
(a) A  $600 \times 600$  image consisting of two types of blobs. (b) Image with small blobs removed by closing (a). (c) Image with light patches between large blobs removed by opening (b). (d) Original image with boundary between the two regions in (c) superimposed. The boundary was obtained using a morphological gradient operation.





# Digital Image Processing, 3rd ed.



**FIGURE 9.44** (a) Original image of size  $1134 \times 1360$  pixels. (b) Opening by reconstruction of (a) using a horizontal line 71 pixels long in the erosion. (c) Opening of (a) using the same line. (d) Top-hat by reconstruction. (e) Top-hat. (f) Opening by reconstruction of (d) using a horizontal line 11 pixels long. (g) Dilation of (f) using a horizontal line 21 pixels long. (h) Minimum of (d) and (g). (i) Final reconstruction result. (Images courtesy of Dr. Steve Eddins, The MathWorks, Inc.)

## مورفولوژی سطح خاکستری

مثال

## GRAY-SCALE MORPHOLOGY

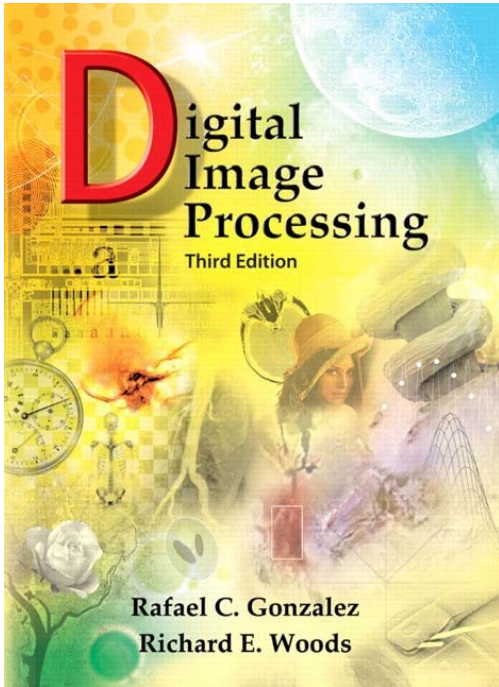


(a) Original image of size  $1134 \times 1360$  pixels. (b) Opening by reconstruction of (a) using a horizontal line 71 pixels long in the erosion. (c) Opening of (a) using the same line. (d) Top-hat by reconstruction. (e) Top-hat. (f) Opening by reconstruction of (d) using a horizontal line 11 pixels long. (g) Dilation of (f) using a horizontal line 21 pixels long. (h) Minimum of (d) and (g). (i) Final reconstruction

پردازش تصویر مورفولوژیکال



منابع



Rafael C. Gonzalez, Richard E. Woods,  
**Digital Image Processing,**  
Third Edition, Pearson Prentice Hall, 2008.  
**Chapter 9**